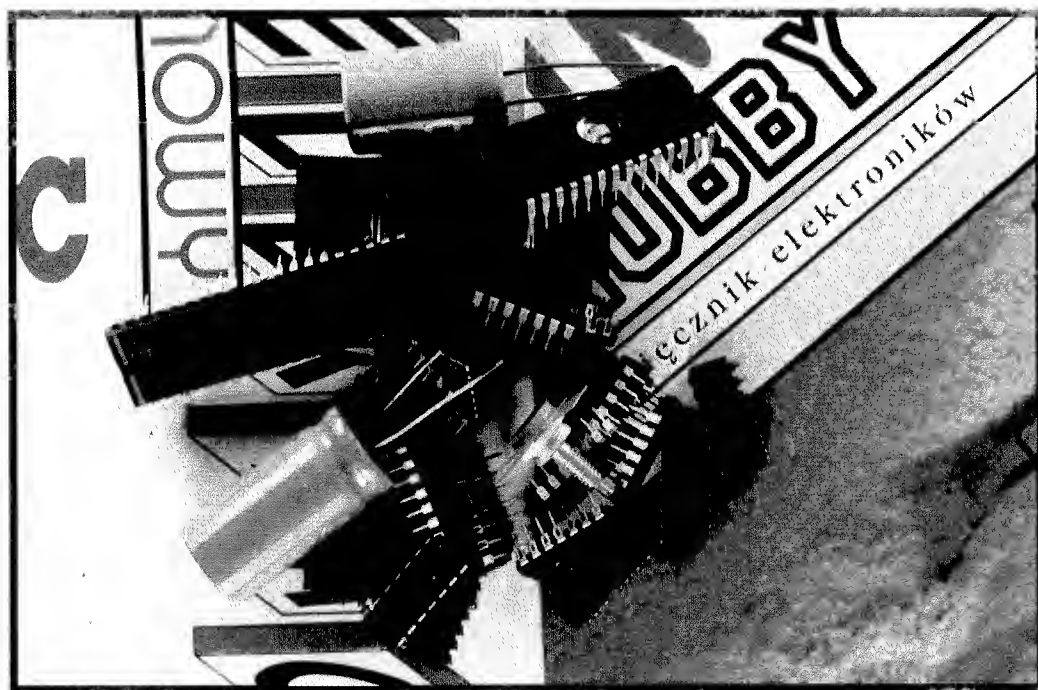


# ELEKTRONIK

nowy

miesięcznik  
elektroników 9/93  
cena 13.900 zł  
nr ind 387141

Nowy syntezer mowy IDS 1016



## Wzmacniacz słuchawkowy

Wzmacniacz suchawkowy . . . . .	5
Sygnalizacja spalania się żarówki . .	7
Mikroprocesorowe układy WNP i ich zagraniczne odpowiedniki . . .	8
NE 544 – precyzyjny sterownik do serwomechanizmów cz.II . . . . .	9
Parametry odbiornika radiowego . .	11
Czasowo – proporcjonalny układ regulacji ogrzewania elektrycznego .	14
Katalog 74HCxxx . . . . .	17
Nowy syntezers mowy ISD 1016 w DaB Electronic . . . . .	23
Alfanumeryczne wyświetlacze LTN 211, LTN 221, LTN 243 . . .	25
Katalog tranzystorów produkcji b. ZSRR . . . . .	29
Ogłoszenia . . . . .	31



Miesięcznik 9/1993 (48)  
Rok czwarty  
Wrzesień 1993  
Nakład 40.000 egz.  
Numer zamknięto 23.07.1993  
Cena 1 egz. 13.900 zł  
Nr ind. 367141

Wydawca  
P.W. „ARTCOM”

Adres redakcji:  
82-300 Elbląg, ul. Browarna 85  
skr. poczt. 100  
tel./fax 34-18-84 wew. 32  
tlx 057302

Redagują:  
Jarosław Bereda, Dariusz Mickiewicz,  
Wiesława Oleszczuk,  
Ryszard Świątkowski – red. naczelny.

Stali współpracownicy:  
Dariusz Bienkowski, Jarosław Choma,  
Witold Dąbrowski, Robert Krzysztofek,  
Andrzej Kusiak, Zbigniew Pędzik,  
Sławomir Szczepaniewicz,  
Aleksander Rode. Witold Wrotek

Opracowanie graficzne i DTP  
P.W. „ARTCOM”  
Mariusz Kołtun  
Janusz Mikowicz

Naświetlenia:  
P.P.N.H. „EXPLONAFI” Sp. z o.o.  
01-685 Warszawa, ul. Stachury 4

Druk:  
Grudziądzkie Zakłady Graficzne  
Grudziądz, ul. Droga Mazowiecka 23

*Redakcja zastrzega sobie prawo dokonywania skrótów oraz adiustacji nadesłanych materiałów.*

# BLANKIET DLA PRENUMERATORÓW

Warunki prenumeraty  
czasopism technicznych  
wydawanych przez  
P.W. "ARTCOM"

1. Przyjęcie – wyłączenie na podstawie wpłaty na blankietach wydrukowanych w miesięcznikach: "NOWY ELEKTRONIK", "ELEKTRONIK HOBBY" i "ŚWIAT PC – tow" lub na blankietach bankowych z zaznaczeniem tytułu czasopisma.
2. Dane na blankiecie – dokładny i czytelnie napisany adres zamawiającego.
3. Wpłaty – zgodnie z podanymi cenami, należy dokonać w bankach lub placówkach pocztowych.

## Pokwitowanie dla Banku

22

.....słownie

wplacajacy

Dokladny adres

N. zachęca  
P.W., ARTCOM”  
Edyta, ul. Piłsna 85

B.P. PKO oddział w Elblągu  
R-k nr 17516-38276-136

Opia

AMERICAN PSYCHOLOGICAL ASSOCIATION

..... podpis przyj.

## Pokwitowanie dla Posiadacza r--ku

12

..... słownie

xplacajacy .....

Dokładny adres

*Na rachunek:*  
**P.W. "ARTCOM"**  
Elbląg, ul. Browarna 85

B.P. PKO oddział w Elblągu  
R-k nr 17516-38276-136

Optata	zł
--------	----

..... podpis przyj.

## Pokwitowanie dla Wpłacającego

**Background**

..... słownie

wpłacający

dokladny adres

Na rachunek:  
**P.W. „ARTCOM”**  
Elbląg, ul. Browarna 85

B.P. PKO oddział w Elblągu  
R-k nr 17516-38276-136

Opłata	21.....
--------	---------



..... podpis przyj.

# Wzmacniacz słuchawkowy

Prezentowany poniżej wzmacniacz słuchawkowy umożliwia bardzo dobry odsłuch dźwięku z najróżniejszych źródeł. Posiada dwie różne charakterystyki przenoszenia: ściśle liniową w całym paśmie akustycznym oraz podbitą w górnym i dolnym zakresie pasma z możliwością regulacji. Został zaprojektowany i wykonany do profesjonalnej pracy estradowej przy regulacji brzmienia na scenie. Posiada dwie zasadnicze zalety: bardzo dobre parametry akustyczne oraz tanią i prostą konstrukcję. Może więc być z powodzeniem wykorzystany do amatorskich konstrukcji wysokiej jakości.

Najważniejsze parametry techniczne:

- liniowe pasmo przenoszenia 12Hz – 65kHz
- napięcie szumów – 1mV
- rezystancja wejściowa –  $R_{we} = 470k\Omega$

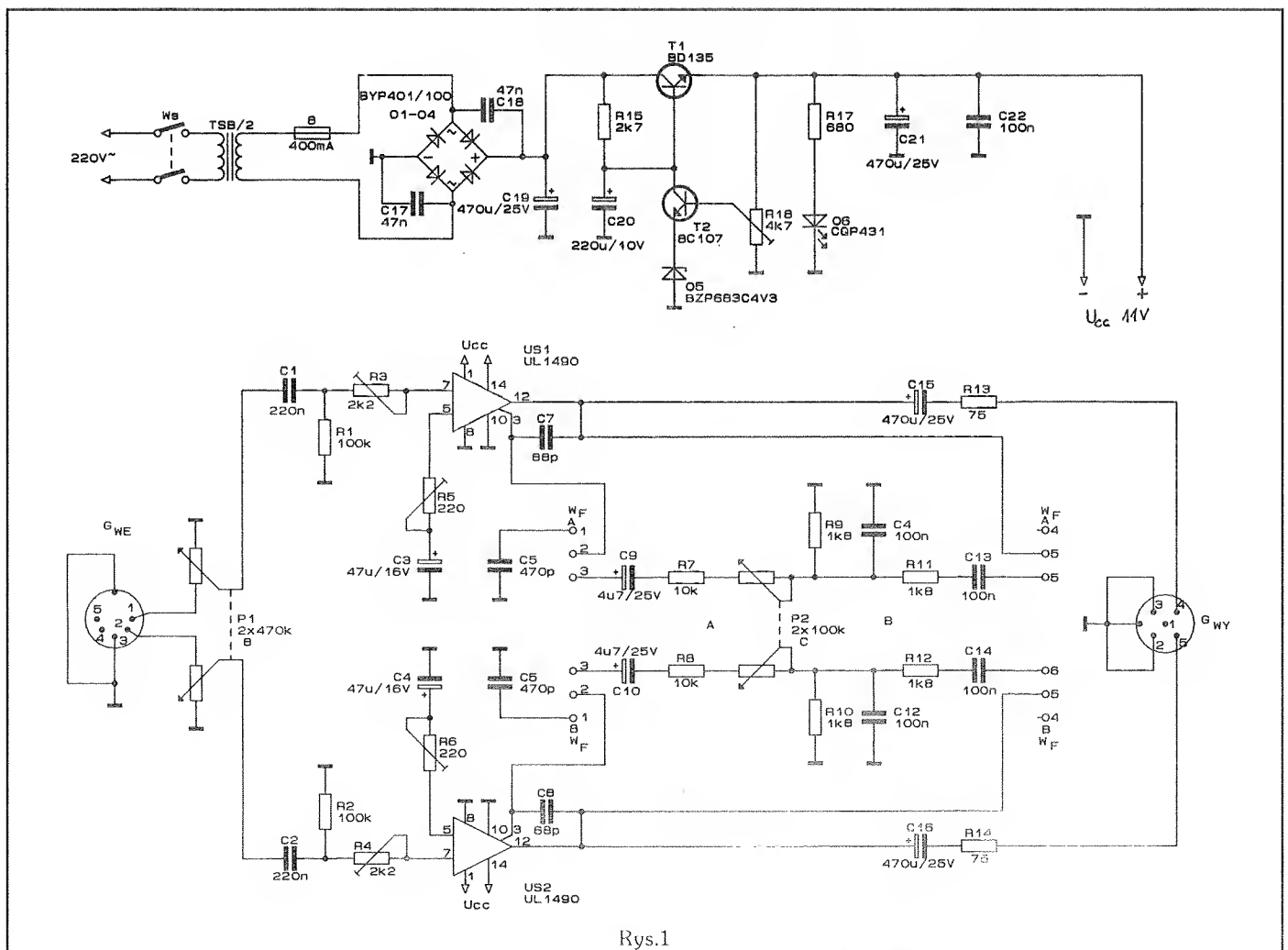
- impedancja obciążenia –  $R_o = 600\Omega$
- wzmacnienie napięciowe –  $k_v = 46dB$

## Opis układu

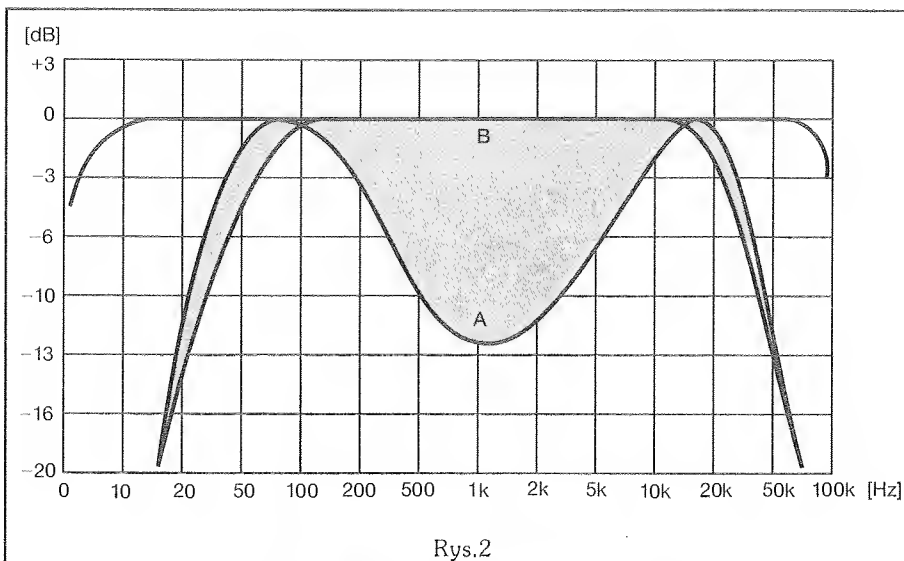
W układzie wykorzystano monolityczny wzmacniacz małej częstotliwości UL 1490 charakteryzujący się dużą czułością i małymi zniekształceniami. Układ scalony może być zasilany napięciem w przedziale 6–12V. Można go zasilać napięciem maksymalnym, jednakże w praktyce, gdy pracował kilka godzin bez przerwy, wskutek przenieszonej mocy i rosnącej w związku z tym nieznacznie temperatury wewnętrznej układu, pojawiły się większe zniekształcenia harmoniczne i szumy własne. Z tego też względu obniżono napięcie zasilania do 11V, przy którym pogarszanie się parametrów było niezauważalne.

Sygnał akustyczny o poziomie 0dB przechodzi z gniazda wejściowego  $G_{we}$  na potencjometr podwójny P1. Zapewnia on właściwe dopasowanie wyjścia przedwzmacniacza akustycznego ze wzmacniaczem słuchawkowym i dodatkowo umożliwia regulację głośności na słuchawkach. Sygnał biegnie dalej (kanał lewy) przez kondensator separujący C1, który odcina jego składową stałą i przez dzielnik R1, R3 wchodzi do wzmacniacza US1. Potencjometry montażowe R3 i R5 umożliwiają wyrównanie wzmacnień w obu kanałach, a dodatkowo przeciwdziałają samowzbudzeniom w układzie scalonym.

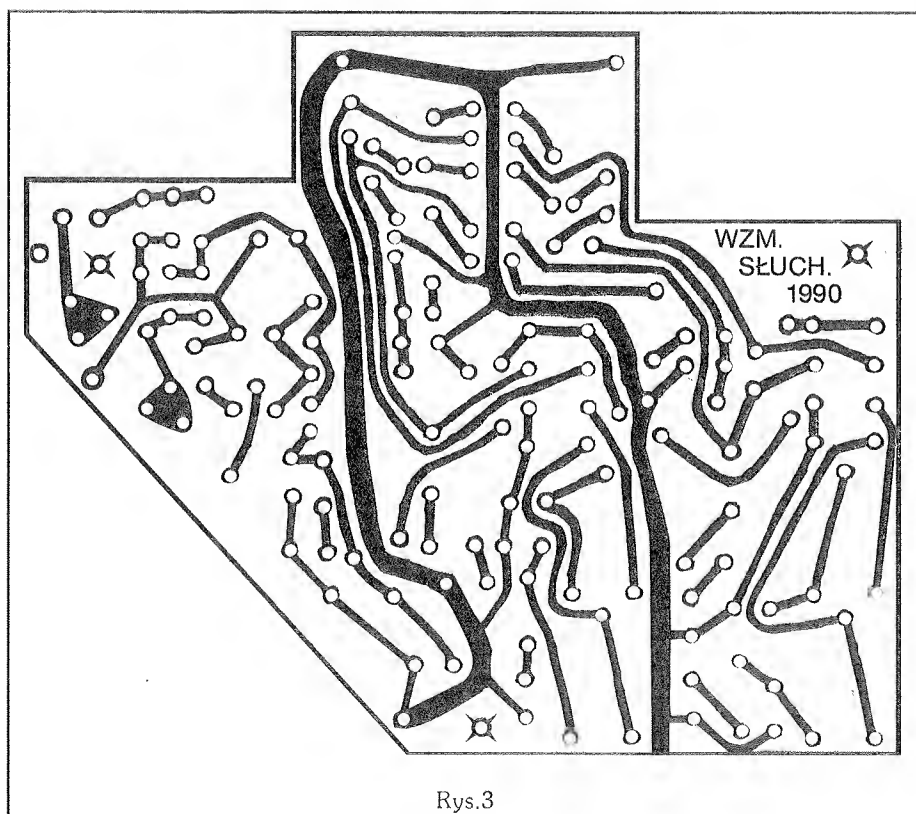
W pętli sprzężenia zwrotnego znajduje się potencjometr montażowy R5 i kondensator C3. Potencjometr ten ma bezpośredni wpływ na wzmacnienie napięciowe ukła-



Rys.1



Rys.2



Rys.3

du. Wzmocnienie to określa wzór:

$$k_u = R_x / R_5$$

gdzie  $R_x$  to rezystor rzeczywisty znajdujący się wewnątrz układu scalonego o wartości 7.8k. Wartość  $R_5$  jest przez producenta UL 1490 ograniczona do przedziału: 24–220Ω i tak przy:

$$R_5 = 24\Omega \quad k_u = 325 = 50\text{dB}$$

$$R_5 = 39\Omega \quad k_u = 200 = 46\text{dB}$$

$$R_5 = 220\Omega \quad k_u = 35 = 31\text{dB}$$

W proponowanym układzie ustalono  $R_5$  na 39Ω. Jest to bowiem najlepszy kompromis między wzmocnieniem napięciowym a

wielkością zniekształceń harmonicznym i szumów własnych.

Na pasmo przenoszenia wzmacniacza mają wpływ: przy pracy liniowej kondensatory C5, C7, C15, a przy pracy "z podbiciem" kondensatory C7, C15 i złożony filtr oparty na C9, C11, C13, R7, R9, R11 i P2. Jednocześnie też należy dodać, że wpływ na pasmo mają również słuchawki, a raczej wartość ich impedancji. Przy czym przy stałej pojemności C15 wzrost obciążenia, czyli wzrost impedancji słuchawki powoduje rozszerzenie pasma od dołu. Prezentowany układ został zaprojektowany do współpracy z

popularnymi na naszym rynku słuchawkami Sd-501 z Tonsilu, których impedancja wynosi 600Ω. W czasie projektowania zadowalające pasmo uzyskano przy pojemności C15 = 470μF. Pasma od góry przy pracy liniowej kształtują pojemności C5 i C7; i podobnie tutaj: przy projektowaniu zadowalającą szerokość pasma uzyskano przy pojemnościach C5 = 470pF i C7 = 68pF. Należy przy tym zwrócić uwagę by C5 i C7 miały wysoką stabilność (np. mikowe).

Przy pracy "z podbiciem" istnieje możliwość regulacji efektu odstuchu (pokazuje to Rys.2). Warto jednak dodać, że przy włączeniu tego filtra szerokość pasma przenoszenia jest nieco mniejsza niż w przypadku pracy liniowej.

Na wyjściu wzmacniacza wstawiono jeszcze rezystor R13, który zapobiega przeciążeniom słuchawek przy długiej eksploatacji non stop.

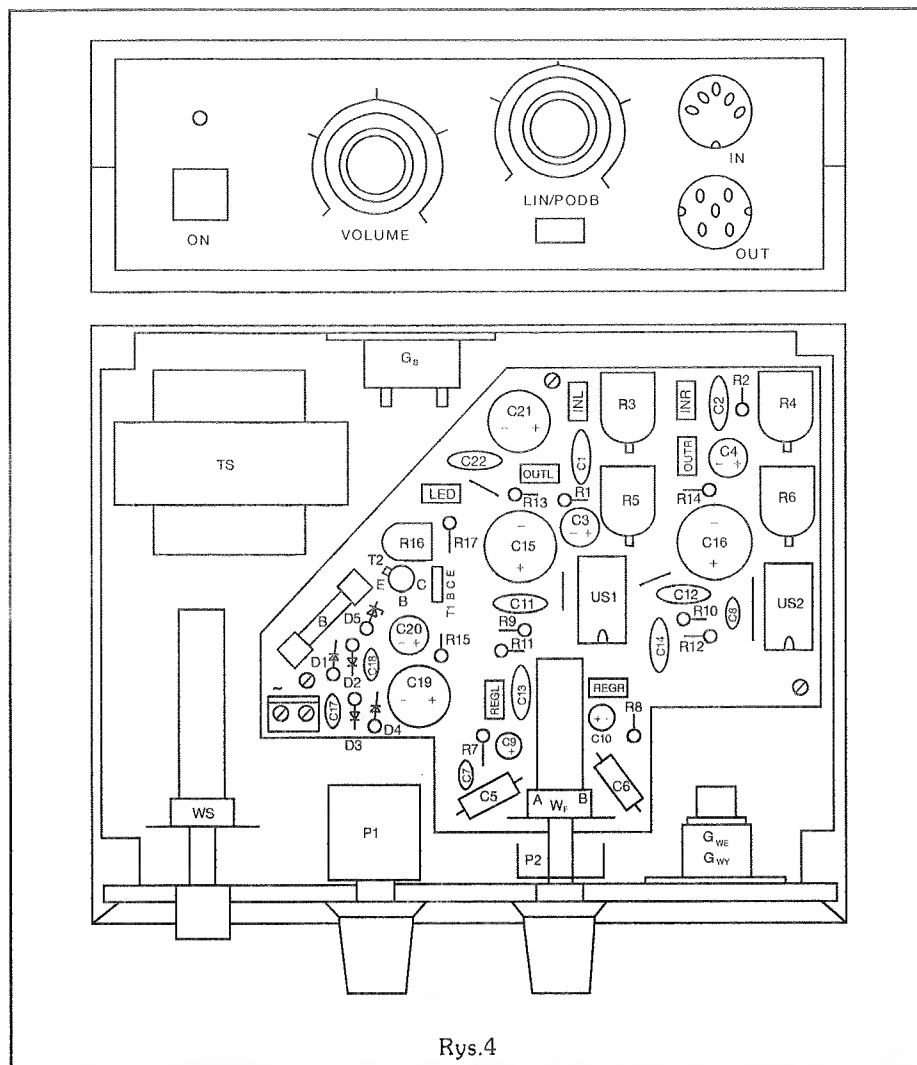
## Montaż i regulacja

Schemat układu przedstawia Rys.1, rysunek montażowy – Rys.4, a rysunek płytki drukowanej – Rys.3.

Urządzenie zamknięto w pudełku plastikowym o wymiarach: 124 x 155 x 52, które można kupić w sklepach.

Na płytce umieszczono dodatkowo ekran, który tłumi pole magnetyczne pochodzące z transformatora. Ekran ten można zrobić choćby z blachy po puszcze od piwa. Gniazda  $G_{we}$  i  $G_{wy}$  oraz obudowy potencjometrów P1 i P2 należy dokładnie zaekranować. Potężniejsza natomiast wykonać przewodami ekranowanymi, przy czym przy montażu należy pamiętać o niezapętłaniu masy, gdyż płynące w takich pętłach mikroprądy będą powiększać szumy własne urządzenia.

Po zmontowaniu całości należy jeszcze przeprowadzić regulację wzmacniacza. W tym celu do gniazda  $G_{we}$  podłączamy generator o przebiegu sinusoidalnym (1kHz i sygnał 0dB = 0.775V). Do gniazda  $G_{wy}$  podłączamy słuchawki i dwa takie same voltomierze, każdy do osobnego kanału. Ustawiamy R3 i R4 na wartość 1kΩ oraz R5 i R6 na wartość 39Ω. Po włączeniu zasilania



Rys.4

nia i ustawieniu P1 na maksimum oba voltomierze powinny wskazywać tę samą wartość. Ewentualną różnicę skorygować można jednym z potencjometrów R3 lub R4.

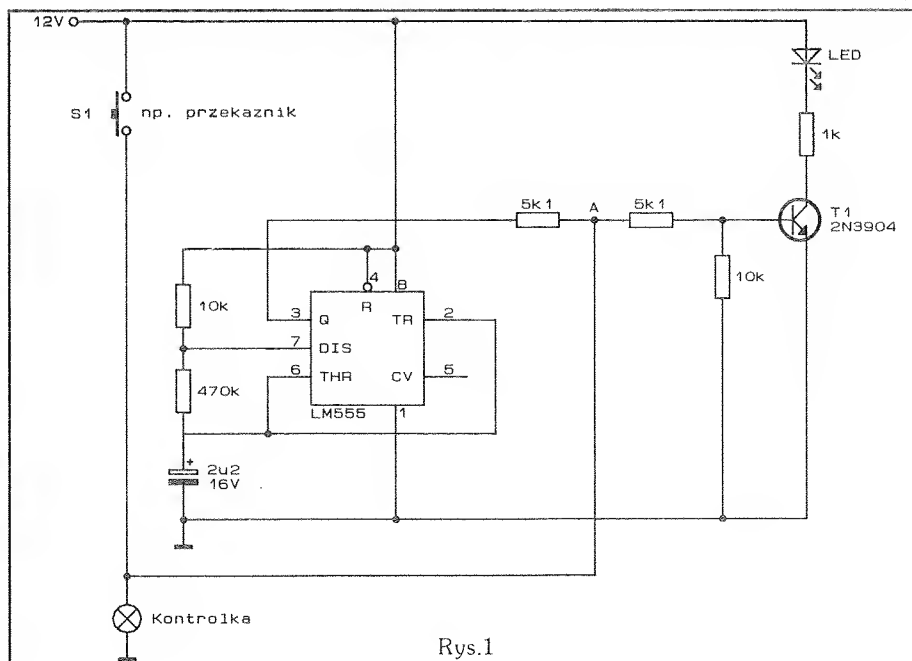
W przypadku, gdyby pojawiły się samowzbudzenia należy wartości R3 i R4 = 1kΩ w niewielkim zakresie zwiększyć, przy czym zapasy występujące na nich w zupełności wystarczają na usunięcie tej usterki.

*Tomasz Rynkowski*

## Sygnalizacja spalenia się żarówki

Chociaż żarówkowe lampki kontrolne są dobrze widoczne niemal niezależnie od otaczających warunków oświetlenia, to ich słabą stroną jest ograniczona żywotność. Wcześniej czy później włókna wszystkich żarówek przepalają się w momencie włączenia zasilania z powodu powstawania naprężeń mechanicznych materiału włókna podczas szybkiego przechodzenia ze stanu zimnego do gorącego. W przypadku, gdy kontrolka służy do informowania o stanach krytycznych przydatny jest obwód z Rys.1 informujący za pomocą diody LED o stanie żarówki i obwodu zasilającego. Reaguje on na trzy różne stany:

\* włókno żarówki jest dobre a zasilanie wyłączone – wskaźnik



Rys.1



LED nie świeci

- \* zasilanie żarówki jest włączone i prawidłowe – wskaźnik LED świeci w sposób ciągły
- \* włókno żarówki jest przepalone (lub brak żarówki w gniazdku) a zasilanie jest wyłączone – wskaźnik LED miga

Działanie układu polega na rozróżnieniu małej rezystancji włókna żarówki dobrego (w stanie zim-

nym typowo mniej niż  $20\Omega$ ) od nieskończonej rezystancji włókna przepalonego. Obwód wykorzystuje timer 555 jako oscylator o częstotliwości 3Hz. Jeżeli żarówka jest dobra, niska impedancja reprezentowana przez włókno utrzymuje punkt A blisko masy i nie pozwala utworzyć tranzystor T1. Jeśli żarówka jest spalona, wyjście timeraysterowuje tranzys-

tor, powodując miganie diody z częstotliwością 3Hz, co bezpośrednio informuje o uszkodzeniu kontrolki.

Ciągłe świecenie diody świadczy o prawidłowym zasilaniu kontrolki i braku zwarcia do masy w jej gniazdku.

wg EDN 24/92

Robert Krzysztofek

## Mikroprocesorowe układy WNP i ich zagraniczne odpowiedniki

UKŁAD SCALONY	ODPOWIEDNIK	FUNKCYJNE PRZEZNACZENIE
KP 580 BM 80	8080	Jednostka centralna mikroprocesora 8-bitowego
KP 580 BB 55	8255A	Programowany równoległy układ we-wy
KP 580 BB 51	8251	Programowany szeregowy układ we-wy
KP 580 BT 57	8257	Układ sterownia bezpośrednim dostępem do pamięci
KP 580 BH 59	8259	Układ sterowania przerwaniami
KP 580 BИ 53	8253	Układ liczników programowanych
KP 580 BB 79	8279	Programowany interfejs klawiatury i wyświetlaczy
KP 580 ГФ 24	8224	Generator zegarowy
KP 580 BK 28	8228	Kontroler systemu i dwukierunkowy bufor szyny danych
KP 580 BK 38	8238	Kontroler systemu i dwukierunkowy bufor szyny danych
KP 580 ИР 82	8282	8-bitowy rejestr buforowy nieodwracający
KP 580 ИР 83	8283	8-bitowy rejestr buforowy odwracający
KP 580 BA 86	8286	8-bitowy blok nieodwracającego układu dwukierunkowego sterowania magistrali
KP 580 BA 87	8287	8-bitowy blok odwracającego układu dwukierunkowego sterowania magistrali
KP 580 БГ 75	8275	Programowany układ sterowania monitorem
KP 580 BK 91	8291A	Nadajnik-odbiornik szyny zewnętrznej
KP 580 БГ 92	8292	Sterownik interfejsu mikroprocesor – szyna zewnętrzna
KP 580 БГ 93	8293	Nadajnik-odbiornik układu interfejsu mikroprocesor – szyna zewnętrzna
KP 580 BT 42	3242	Multiplexer adresowy i licznik dla DRAM o pojemności 16kB
KP 1810 BH 59 A	8259A	Programowany kontroler przerwań
KP 1810 BM 86	8086	Jednostka centralna
KM 1810 BM 86		
KP 1810 ГФ 84	8284	Generator zegarowy
1810 ГФ 88	8288	Układ sterowania magistrali
1810 ББ 89	8289	Układ synchronizujący
KM 1810 BM 87	8087	Koprocesor arytmetyczny
KM 1810 BM 89	8089	Koprocesor wprowadzania – wyprowadzania
KM 1810 BM 88	8088	16-bitowa jednostka centralna
KP 1810 BT 3	8203	Sterownik pamięci dynamicznej RAM (DRAM)
KM 1810 BT 3	8203	
KP 1810 BИ 54	8254	Programowany timer
KP 1810 BM 86 B	8086-2	Szesnastobitowy mikroprocesor
KM 1810 BM 86 B	8086-2	
KP 1810 BT 37 A	8237A	Układ sterowania bezpośrednim dostępem do pamięci
KP 1810 БГ 72 A	8272A	Układ sterowania elastycznymi dyskami o pojedynczej i podwójnej gęstości

UKŁAD SCALONY	ODPOWIEDNIK	FUNKCYJNE PRZEZNACZENIE
KM 1813 BE 1	2920	Mikroprocesor jednoukładowy – mikrokomputer do obróbki sygnałów z analogowymi układami we/wy
KM 1816 BE 48	8048	Mikroprocesor jednoukładowy z wewnętrzną pamięcią ROM
KP 1816 BE 35	8035	Mikroprocesor jednoukładowy z zewnętrzną pamięcią EPROM
KP 1816 BE 39	8039	Mikroprocesor jednoukładowy z wewnętrzną pamięcią EPROM
1821 PY 55	81C55	Pamięć RAM 2kB z portem we/wy
1821 PE 55	83C55	Pamięć EPROM 16kB z portami we/wy
1821 BU 54	82C54	Programowany timer
1821 BH 59 A	82C59	Programowany układ sterowania przerwaniami
1821 BM 85 A	80C85A	Mikroprocesor 8-bitowy
1821 BB 19	82C19	Kontroler magistrali MULTIBUS
1821 BB 51 A	82C51A	Uniwersalny synchroniczno-asynchroniczny nadajnik odbiornik
1821 BA 86	82C86	Dwukierunkowy nieodwracający bufor magistrali danych
1821 BA 87	82C87	Dwukierunkowy odwracający bufor magistrali danych

Zbigniew Pędzik

Opracowano na podstawie:

Radio 9, 11/90

Literatura:

K. Badźmirowski i. Pieńkos i. Myzik

A. Piotrowski – "Układy i systemy

mikroprocesorowe" WNT Warszawa 1990

## NE 544 – Precyzyjny sterownik do serwomechanizmów cz.II

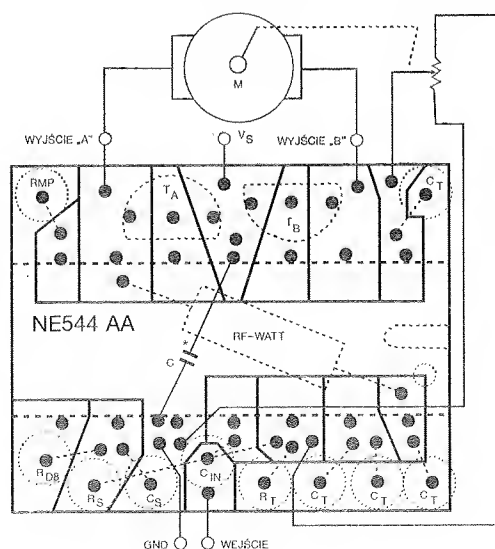
**Przeciąganie reakcji na „impuls błędu” oraz wytworzenie strefy martwej**

Fragment układu realizującego

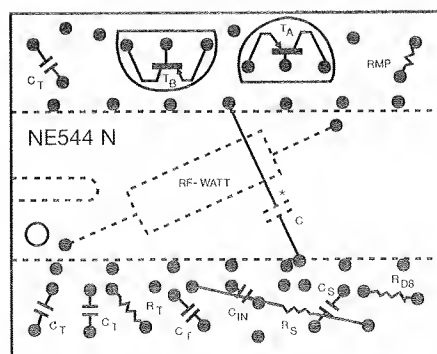
ten proces przedstawiono na Rys.7a, b wraz z ilustracją przebiegów czasowych. Od pracy tego układu zależą istotne dla jakości pracy serwomechanizmu parametry.

Dla zapewnienia stabilnego za-

chowania się serwomechanizmu w ustalonym położeniu, konieczne było ustalenie minimalnej wartości  $t_{io}$  impulsu wyjściowego. Uzyskano to przez wytworzenie strefy niewrażliwości na określoną wartość

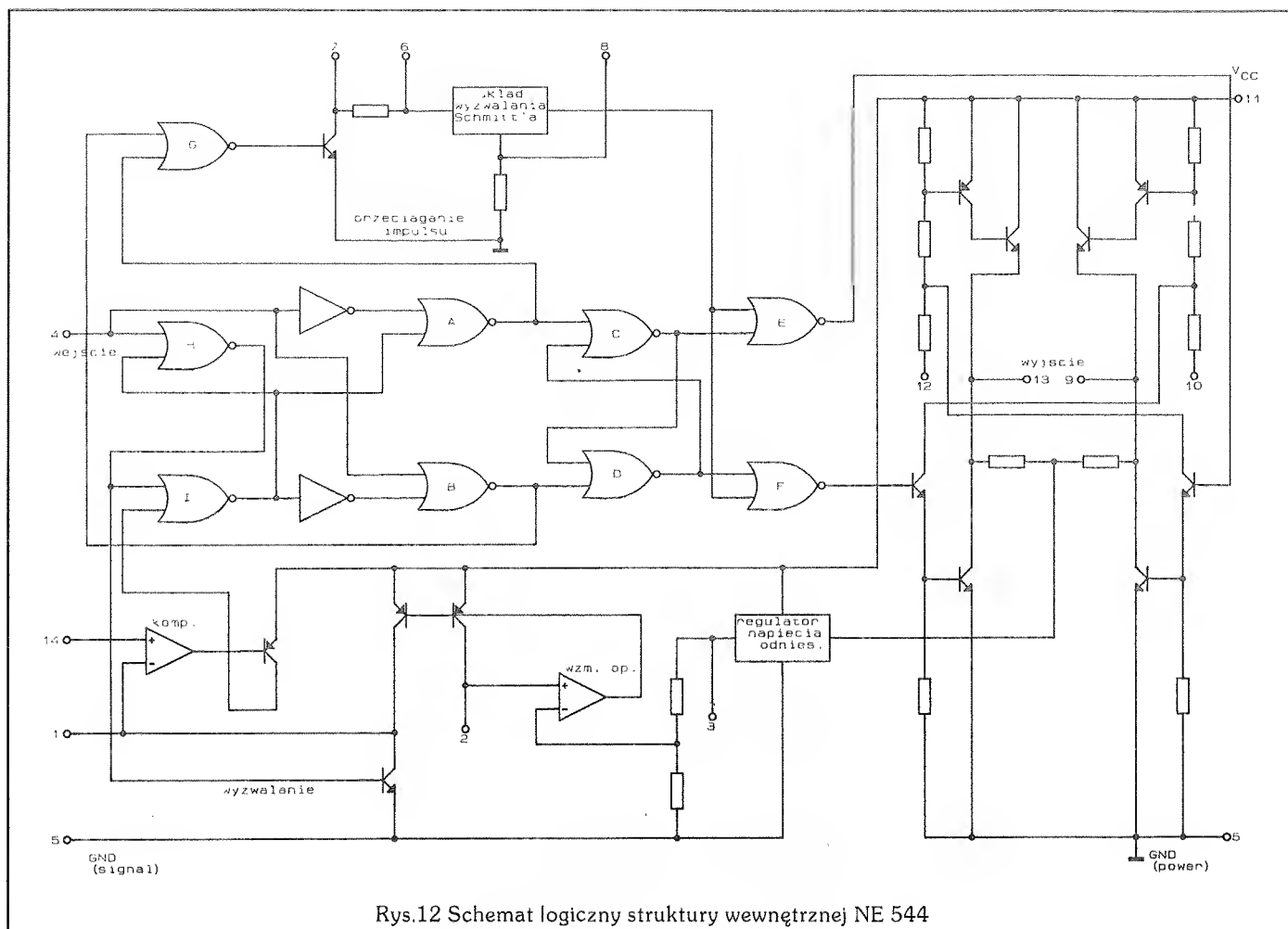


Widok od strony druku



Widok od strony elementów

Rys.11 Przykładowe rozwiązanie płytki drukowanej w skali 3:1



Rys.12 Schemat logiczny struktury wewnętrznej NE 544

„impulsu błędu”, którą to strefę nazywać będziemy dalej „strefą martwą”. Znajomość procesu powstawania „impulsu błędu” pozwala stwierdzić, że dla pewnego (ustalonego przez  $R_{MP}$ ,  $R_{DB}$ ) zakresu zmian szerokości impulsu wejściowego nie nastąpi reakcja ze strony układu sterującego.

Jest to rutynowe wytworzenie marginesu zakłóceń, zwłaszcza fluktuacyjnych, pochodzących z systemu zdalnego sterowania lub samego układu serwomechanizmu.

Układ przeciągania kształtuje charakterystykę przenoszenia sterownika NE 544 od etapu impulsu błędu do impulsu wyjściowego.  $V_1$  i  $V_2$  (Rys.7 b) to punkty graniczne pętli histerezy przerzutnika Schmitt'a. Połączenie rezystora  $R_{MP}$  od wypr. 8 do  $V_{CC}$  zwiększa szerokość pętli histerezy. Operując uproszczeniem, układ przeciągania wydłuża impuls wyjściowy wraz ze wzrostem czasu trwania „impulsu błędu” pod warunkiem, że ten ostatni będzie dłuższy od strefy martwej.

Wydłużanie jest determinowane

logarytmicznym przebiegiem ładowania  $C_s$ , dlatego impuls wyjściowy dla większych impulsów błędu jest nieproporcjonalnie dłuższy niż dla impulsów błędu o małej wartości.

Takie działanie ma uzasadnienie energetyczne. Jeżeli wystąpi duża różnica między położeniem aktualnym osi serwomechanizmu, a zadaniem przez układ sterujący, to oczekujemy odpowiednio szybkiego pokonania tej drogi. W fazie osiągnięcia punktu docelowego prędkość musi być mała dla uniknięcia oscylacji. Szybki ruch elementu wykonawczego wymaga dostarczenia znacznej mocy zasilania z układu wzmacniacza, czyli długiego impulsu sterującego przy stałej wydajności prądowej wyjść NE 544. Układ przeciągania poprawia znacznie dynamikę serwomechanizmu.

### Rozszerzenie kąta sterowania układu serwomechanizmu powyżej 180°

Przy bezpośrednim sprzężeniu osi mechanizmu wykonawczego z potencjometrem kontroli położenia  $R_p$  można zastosować dodatkowe rezystory  $R_A$  i  $R_B$  w/g Rys.8 i Rys.9. Zastosowanie w sprzężeniu połączenia redukcyjnego pozwala na sterowanie mechanizmami wielobrotowymi.

### Stosowanie dodatkowych tranzystorów PNP $T_A$ i $T_B$

Dodatkowe tranzystory stanowią w wypadku ich zastosowania, drogą obejściową dla wewnętrznego stopnia mocy, pozwalając zwiększyć wydajność prądową wyjść. Poprawia to dynamikę układu i jest korzystne z uwagi na bezpieczeństwo eksploatacji NE 544 przy obciążeniu granicznym. Prąd wyjściowy wyprowadzeń sterujących dodatkowe tranzystory PNP wynosi  $\leq 20\text{mA}$ .

Sławomir Szczęśniewicz

Opracowano na podstawie:  
(SIGNETICS) – „LINEAR DATA MANUAL”



# Parametry odbiornika radiowego

Celem niniejszego artykułu jest pokazanie, że parametry szumowe i dynamiczne odbiornika radiowego można określić podając jedynie jego współczynnik szumów i punkt odniesienia intermodulacji IP, które to parametry nie są zależne od szerokości pasma przenoszenia odbiornika. Chcę również pokazać, że

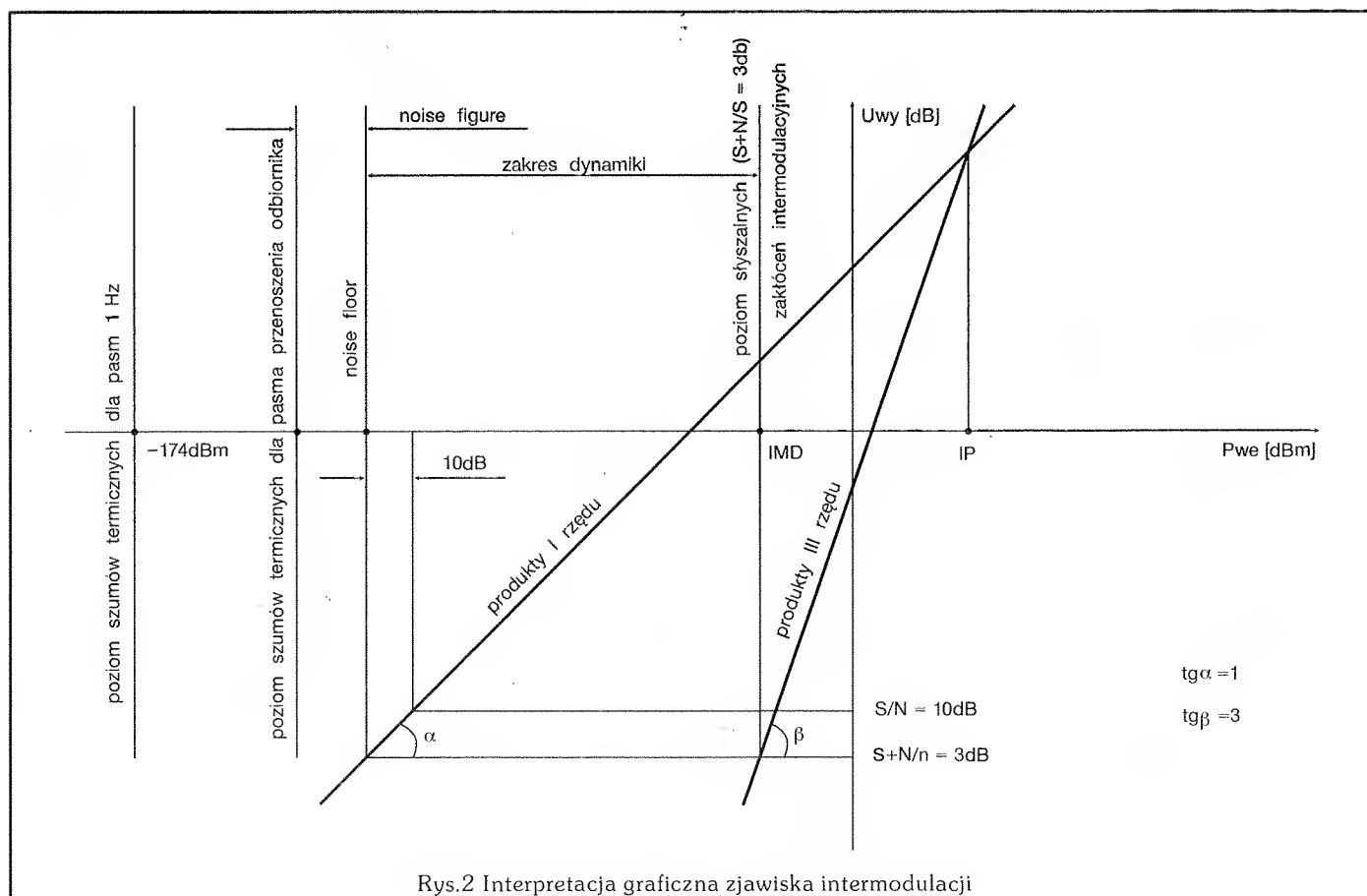
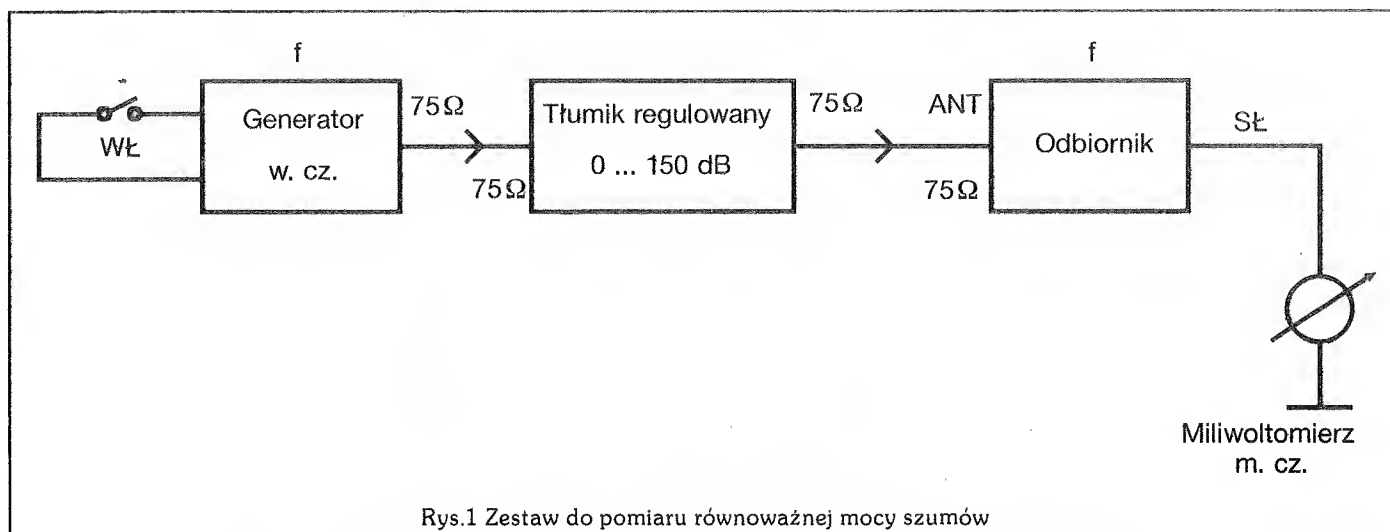
dla wyznaczenia parametrów szumowych i dynamicznych odbiornika, wystarczy zmierzyć jego próg szumowy (noise floor) oraz poziom zakłóceń intermodulacyjnych IMD.

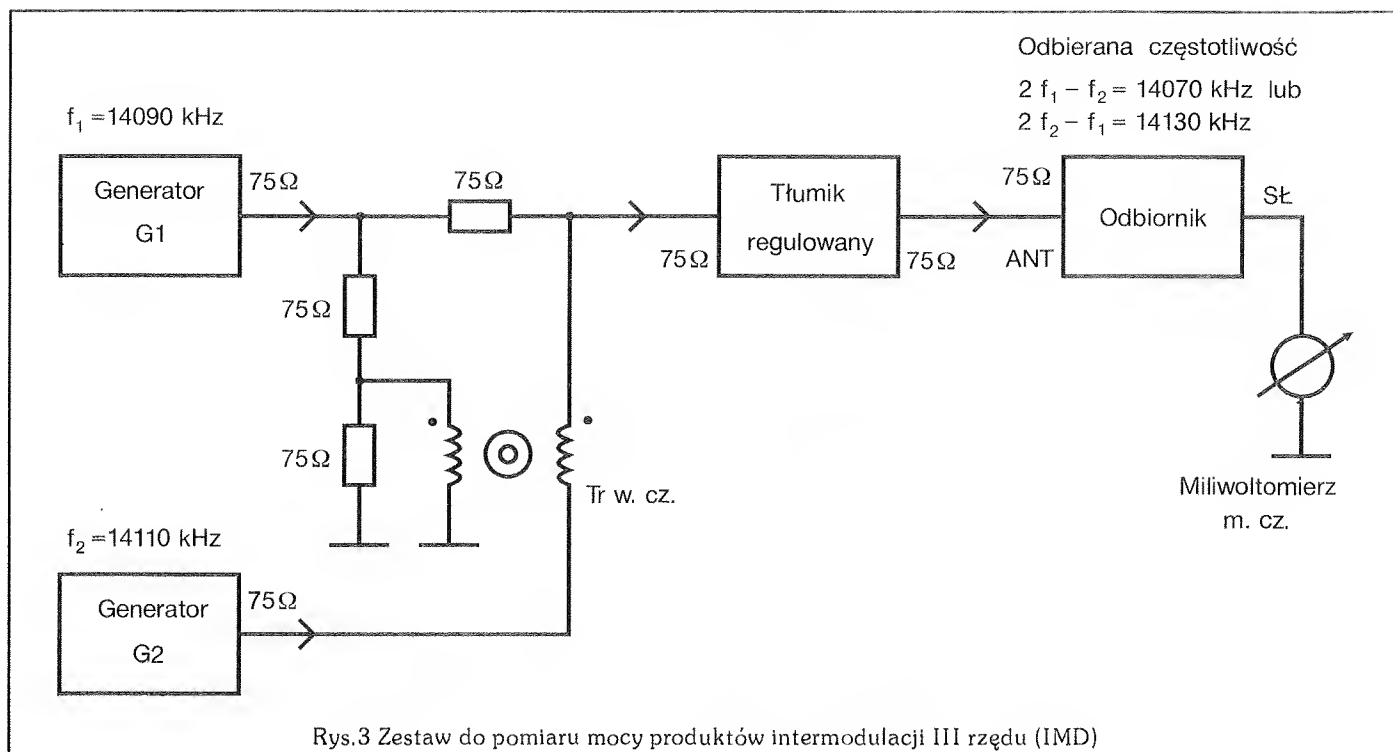
## Pomiar progu szumowego – równoważnej mocy szumów (noise floor)

Moc szumów cieplnych  $P_{sz}$  na wejściu odbiornika jest wprost proporcjonalna do temperatury bezwzględnej  $T$  i szerokości pasma przenoszenia odbiornika  $B$  i wynosi:

$$P_{sz} = kTB,$$

gdzie  $k$  – stała Boltzmana równa





$1,38 \cdot 10^{-23} \text{ J/K}$ . Dla  $T = T_0 = 290 \text{ K}$  ( $17^\circ\text{C}$ ) i  $B = 1 \text{ Hz}$  otrzymujemy:

$$P_{sz} = 1,38 \cdot 10^{-23} \text{ (J/K)} 290 \text{ K} \cdot 1 \text{ (1/s)} = 4 \cdot 10^{-21} \text{ (J/s)} = 4 \cdot 10^{-21} \text{ W}$$

Moc ta wyrażona w jednostkach dBW (moc w dB w odniesieniu do 1W) wynosi:

$$10 \lg (4 \cdot 10^{-21}) = -204 \text{ dBW}$$

Natomiast wyrażona w jednostkach dBm (moc w dB w odniesieniu do 1mW) wynosi:

$$10 \lg (4 \cdot 10^{-21} \cdot 10^3) = -174 \text{ dBm}$$

Przykładowo obliczając moc szumów cieplnych przy temperaturze  $T_0$  dla wartości pasm przenoszenia spotykanych przy odbiorze CW i SSB otrzymujemy:  $-148 \text{ dBm}$  dla pasma  $400 \text{ Hz}$  i  $-141 \text{ dBm}$  dla pasma  $2 \text{ kHz}$  (wartości te można również obliczyć przez porównanie z wartością  $-174 \text{ dBm}$ : wzrost mocy  $400$  razy to  $26 \text{ dB}$ , a wzrost mocy  $2000$  razy to  $33 \text{ dB}$ ).

Równoważna moc szumów (noise floor) odbiornika to moc sygnału doprowadzonego do wejścia odbiornika równa mocy szumów cieplnych, tzn. taka wartość mocy przy której stosunek sygnał/szum jest równy:

$$S/N = 1 \text{ (tzn. } S/N = 0 \text{ dB)},$$

co odpowiada

$$(S+N)/N = 2 \text{ (tzn. } (S+N)/N = 3 \text{ dB)}$$

Przedstawiony na Rys.1 zestaw do pomiaru równoważnej mocy szumów składa się z generatora w.cz., oporowego tłumika w.cz. regulowanego skokowo co  $1 \text{ dB}$  (do co najmniej  $150 \text{ dB}$  – tłumik taki może się składać z pojedynczych tłumików  $1-2-4-8-16-32-32-32-32 \text{ dB}$ , co daje wypadkowe tłumienie od  $0$  do  $159 \text{ dB}$  ze skokiem  $1 \text{ dB}$ ), mierzonego odbiornika dostrojonego do częstotliwości generatora oraz miliwoltomierza m.cz. dołączonego do wyjścia słuchawkowego (lub głośnikowego) odbiornika. Przy dopasowanych impedancjach w całym zestawie pomiarowym, przy mocy wyjściowej generatora  $0 \text{ dBm}$  ( $0,274 \text{ V}_{sk}/75\Omega$ ) należy tłumik ustawić na taką wartość aby włączenie generatora powodowało przyrost sygnału na wyjściu słuchawkowym odbiornika o  $3 \text{ dB}$  ( $2$  razy przyrost mocy, co odpowiada przyrostowi o  $1,41$  raza napięcia mierzonego miliwoltomierzem m.cz. Wówczas równoważna moc szumów odbiornika (w dBm) jest równa tłumieniu wnoszonym przez tłumik (w dB).

### Przykład:

Dla  $B = 2 \text{ kHz}$  i  $P_{wy}$  generatora  $0$

dBm aby otrzymać o  $1,41$  raza przyrost napięcia na wyjściu odbiornika, tłumik musiano ustawić na  $137 \text{ dB}$ . Noise floor wynosi wówczas  $-137 \text{ dBm}$  dla pasma  $2 \text{ kHz}$ . Wartość noise floor należy podawać razem z pasmem przenoszenia dla jakiego była zmierzona. Zawężenie pasma przenoszenia z  $2 \text{ kHz}$  do  $400 \text{ Hz}$  spowoduje, że wartość noise floor będzie  $2000/400 = 5$  razy mniejsza, tj. o  $7 \text{ dB}$  czyli będzie wynosiła:  $-144 \text{ dBm}$  dla  $400 \text{ Hz}$ .

Wartość równoważnej mocy szumów dla określonego pasma przenoszenia w obiektywny sposób określa wartość szumów własnych odbiornika (czyli jego czułość). Współczynnik szumów (noise figure) jest wielkością niezależną od pasma przenoszenia odbiornika i jest równy:

$$\text{noise figure} = \text{noise floor} - P_{sz}$$

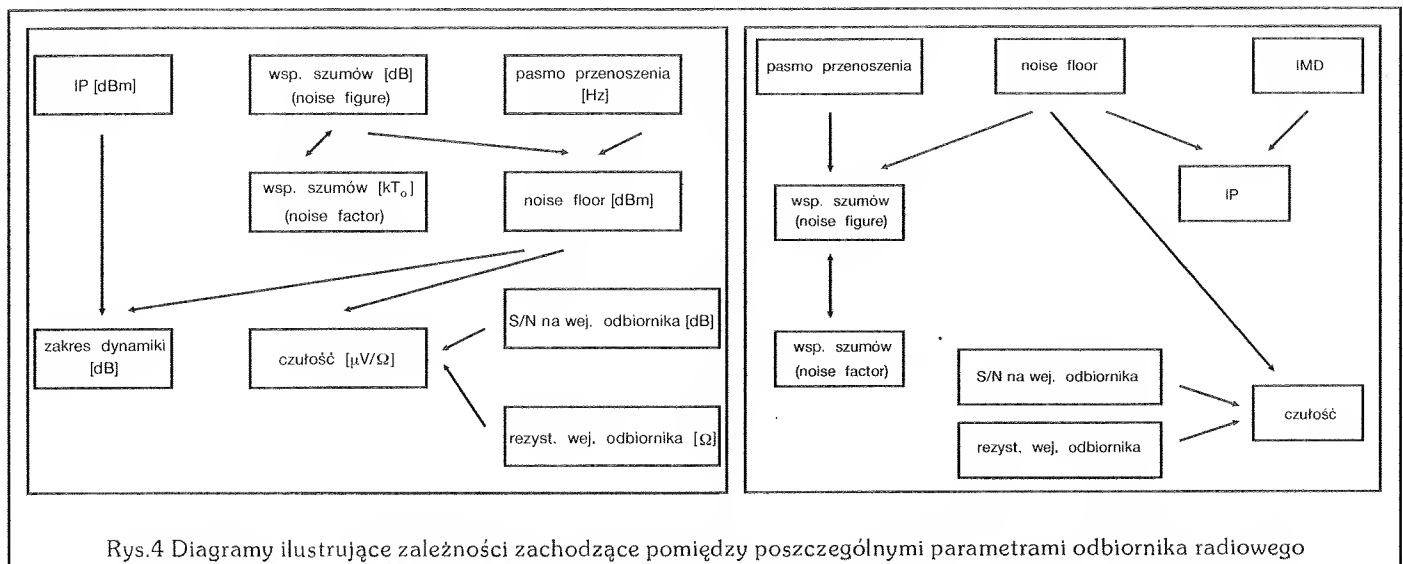
Dla wartości z przykładu współczynnik szumów wynosi:

$$\begin{aligned} & -137 \text{ dBm} - (-141 \text{ dBm}) = \\ & = -144 \text{ dBm} - (-148 \text{ dBm}) = 4 \text{ dB} \end{aligned}$$

Współczynnik szumów może być także wyrażony w jednostkach  $kT_0$  (noise factor):

$$\text{noise figure} = 10 \lg (\text{noise factor}),$$

stąd



$$\text{noise factor} = (10)^{\text{noise figure}/10}$$

Dla noise figure = 4 dB otrzymamy:

$$\text{noise factor} = (10)^{0,4} = 2,51 \text{ kT}_0$$

Przeliczając wartość równoważnej mocy szumów na napięcie otrzymamy czułość odbiornika dla  $(S+N)/N = 3 \text{ dB}$ . Natomiast przyjęło się, że czułość jest podawana dla  $S/N = 10 \text{ dB}$  (co odpowiada temu, że moc sygnału jest 10 razy większa od mocy szumu). Przyrostowi sygnału z  $(S+N)/N = 3 \text{ dB}$  do  $S/N = 10 \text{ dB}$  odpowiada 10-decybelowe zwiększenie mocy sygnału wejściowego. Dlatego w naszym przykładzie dla pasma 2 kHz moc sygnału na wejściu odbiornika (dla  $S/N = 10 \text{ dB}$  na wyjściu odbiornika) musi być równa:

$$-137 \text{ dBm} + 10 \text{ dB} = -127 \text{ dBm},$$

co odpowiada napięciu  $0,122 \mu\text{V}$  na  $75\Omega$ . Natomiast obliczając moc sygnału wejściowego dla pasma przenoszenia 400 Hz (dla  $S/N = 10 \text{ dB}$ ) otrzymujemy:

$$-144 \text{ dBm} + 10 \text{ dB} = -134 \text{ dBm},$$

co odpowiada napięciu  $0,055 \mu\text{V}$  na  $75\Omega$ . Czułość odbiornika z przykładu, przy oporności wejściowej  $75\Omega$ ,  $S/N = 10 \text{ dB}$  i paśmie przenoszenia 2 kHz wynosi  $0,122 \mu\text{V}$  i  $0,055 \mu\text{V}$  przy paśmie 400 Hz. Czułość odbiornika (w  $\mu\text{V}$ ) musi być podawana razem z opornością wejściową odbiornika, ze stosunkiem  $S/N$  względnie  $(S+N)/N$  oraz jego pasmem przenoszenia. Proś-

ciej jest więc podać tylko jeden parametr – współczynnik szumów!

### Pomiar mocy produktów intermodulacji III rzędu (IMD)

We wzmacniaczu w.c.z. i mieszaczu odbiornika zachodzą zjawiska nieliniowe – dwa sygnały, dla przykładu o częstotliwościach  $f_1 = 14090 \text{ kHz}$  i  $f_2 = 14110 \text{ kHz}$ , podane na wejście odbiornika powodują powstanie produktów:

- I rzędu:  $f_1 = 14090 \text{ kHz}$ ,  
 $f_2 = 14110 \text{ kHz}$ ,
- II rzędu:  $f_1 + f_2 = 28200 \text{ kHz}$ ,  
 $f_2 - f_1 = 20 \text{ kHz}$ ,
- III rzędu:  $2f_2 - f_1 = 14130 \text{ kHz}$ ,  
 $2f_1 - f_2 = 14070 \text{ kHz}$ .

Produkty I rzędu wprost proporcjonalne do napięcia – to sygnały użyteczne odbierane przez odbiornik. Produkty II rzędu proporcjonalne do kwadratu napięcia wejściowego, ze względu na duży odstęp od częstotliwości sygnałów użytecznych są łatwe do odfiltrowania. Natomiast produkty III rzędu, proporcjonalne do sześcienu napięcia wejściowego ze względu na niewielki odstęp od częstotliwości sygnałów użytecznych i szybko rosnącą amplitudę są przyczyną występowania intermodulacji. Na Rys. 2 przedstawiono graficzną interpretację tego zjawiska. W skali logarytmiczno-logarytmicznej przedstawiono zależność mocy produktów I i III rzędu na wyjściu odbiornika od mocy sygnałów wejściowych. Charakterystyka I rzędu jest prostą nachyloną pod kątem  $45^\circ$  ( $\text{tg } \alpha = 1$ ). Natomiast charakte-

rystyka III rzędu jest prostą o nachyleniu trzykrotnie większym ( $\text{tg } \beta = 3$ ). Założmy, że sygnały o częstotliwościach  $f_1$  i  $f_2$  mają równe amplitudy (a zatem i równe moce). Wtedy moc jednego z sygnałów wejściowych, przy której następuje przecięcie się obu charakterystyk, nazywa się punktem odniesienia intermodulacji IP (Interception Point). W punkcie IP napięcia sygnałów użytecznych ( $f_1$  i  $f_2$ ) są równe napięciom produktów intermodulacji III rzędu ( $2f_2 - f_1$  oraz  $2f_1 - f_2$ ). Powyżej punktu IP napięcia produktów intermodulacji są większe od napięć sygnałów użytecznych! Wartość IP nie zależy od pasma przenoszenia odbiornika. W praktyce wartość IP wyznacza się mierząc poziom mocy sygnału IMD (Intermodulation Distortion Level), przy którym produkt intermodulacji III rzędu osiąga na wyjściu odbiornika wartość  $(S+N)/N = 3 \text{ dB}$  (patrz Rys.2). Wartość IMD zależy od szerokości pasma przenoszenia odbiornika. Znając zmierzoną wartość IMD można wyznaczyć zakres dynamiki odbiornika. Zakres dynamiki odbiornika jest to zakres sygnału wejściowego od wartości  $(S+N)/N = 3 \text{ dB}$  dla produktu I rzędu do wystąpienia słyszalnych produktów III rzędu o poziomie  $(S+N)/N = 3 \text{ dB}$ . A więc: zakres dynamiki odbiornika = IMD – noise floor.

Zakres dynamiki odbiornika jest wartością zależną od pasma przenoszenia odbiornika. Przyrostowi wartości noise floor o 3 dB odpowiada przyrost IMD o 1 dB. Z prostej zależności trygonometrycznej

(Rys.2) otrzymujemy:

$$IP = IMD + (\text{zakres dynamiki}/2)$$

Wartość IP nie zależy od szerokości pasma przenoszenia odbiornika.

Zestaw przyrządów do pomiaru mocy sygnału IMD przedstawiono na Rys.3. Składa się on z dwu generatorów (o częstotliwościach  $f_1$  i  $f_2$ ), sumatora mocy, regulowanego skokowo co 1 dB tłumika, badanego odbiornika oraz miliwoltomierza m.cz. Sumator mocy wprowadza dla obu sygnałów tłumienie 6 dB, dlatego aby uzyskać na jego wyjściu moc każdego sygnału równą 0 dBm, moce wyjściowe z generatorów powinny wynosić 6 dBm (tzn.

4mW, co jest równoważne  $0,548V_{sk}/75\Omega$ ). Odbiornik należy dobrać do częstotliwości  $2f_1 - f_2$  lub  $2f_2 - f_1$ , a tłumik ustawić na taką wartość tłumienia, przy której uzyska się  $(S+N)/N = 3$  dB (co odpowiada przyrostowi napięcia m.cz. o 1,41 raza, mierzonego na wyjściu słuchawkowym odbiornika. Wówczas:

$$IMD \text{ (w dBm)} = - \text{tłumienie wnoszone przez tłumik.}$$

### Przykład:

Z pomiarów dla  $B = 2$  kHz uzyskano: noise floor = -137 dBm, oraz  $IMD = -40$  dBm. Wówczas: zakres dynamiki = -40

dBm - (-137 dBm) = 97 dB, natomiast  $IP = -40 \text{ dBm} + (97 \text{ dB}/2) = 8,5 \text{ dBm}$ .

Na Rys.4 przedstawiono dwa diagramy - dla lepszej ilustracji zależności zachodzących pomiędzy poszczególnymi parametrami odbiornika radiowego. Natomiast, umieszczone w dodatku, proste programy napisane w BASIC'u ułatwią szybkie przeliczanie wielkości występujących w artykule.

Andrzej Kusiak

### LITERATURA

Kusiak A.: *Measuring Receiver Performance, DUBUS (RFN) nr 2/1986*,  
*Receiving System Performance, DUBUS nr 4/1986*

## DODATEK

### A.

```
5 REM POMIARY PARAMETROW ODBIORNIKA
10 INPUT "PASMO PRZENOSZENIA/kHz?", B
20 INPUT "NOISE FLOOR/dBm?", F
30 INPUT "IMD/dBm?", IM
40 IP = (3 * IM - F)/2
50 NF = F + 144 - 10 * (LOG(B)/LOG(10))
60 N = 10 * (NF/10)
70 P = 10 * ((F/10) + 1)
80 S = SQR(P * 75 * 10^9)
90 D = IM - F
100 PRINT "IP=";IP;"dBm"
110 PRINT "NOISE FIGURE=";NF;"dB"
120 PRINT "NOISE FACTOR=";N;"kTo"
130 PRINT "CZULOSC (S/N=10dB)=";S;"MIKROWOLT/75 OM"
140 PRINT "ZAKRES DYNAMIKI=";D;"dB"
```

### B.

```
5 REM PARAMETRY ODBIORNIKA
10 INPUT "IP/dBm?", IP
20 INPUT "NOISE FIGURE/dB?", NF
```

```
30 INPUT "PASMO PRZENOSZENIA/kHz?", B
40 F = NF - 144 + 10 * (LOG(B)/LOG(10))
50 N = 10 * (NF/10)
60 P = 10 * ((F/10) + 1)
70 S = SQR(P * 75 * 10^9)
80 IM = (2 * IP + F)/3
90 D = IM - F
100 PRINT "NOISE FLOOR=";F;"dBm"
110 PRINT "IMD=";IM;"dBm"
120 PRINT "NOISE FACTOR=";N;"kTo"
130 CZULOSC (S/N=10dB)=";S;"MIKROWOLT/75 OM"
140 PRINT "ZAKRES DYNAMIKI=";D;"dB"
```

### C.

```
5 REM PRZELICZENIE (S+N)/N NA S/N
10 INPUT "(S+N)/N w dB?", A
20 B = 10 * LOG(10*(A/10) - 1)/LOG(10)
30 PRINT "S/N=";B;"dB"
```

### D.

```
5 REM PRZELICZENIE S/N NA (S+N)/N
```

```
10 INPUT "S/N w dB?", B
20 A = 10 * LOG(10*(B/10) + 1)/LOG(10)
30 PRINT "(S+N)/N=";A;"dB"
```

### E.

```
5 REM PRZELICZENIE dBm NA mW i V
10 INPUT "P/dBm?", P
20 INPUT "Z/OM?", Z
30 P = 10 * (P/10)
40 U = SQR(P * 10 * (-3) * Z)
50 PRINT "P=";P;"mW"
60 PRINT "U=";U;"V"/Z;"OM"
```

### F.

```
5 REM PRZELICZENIE V NA mW i dBm
10 INPUT "U/V?", U
20 INPUT "Z/OM?", Z
30 P = U^2 * 1000/Z
40 PO = 10 * (LOG(P)/LOG(10))
50 PRINT "P=";P;"mW"
60 PRINT "P=";PO;"dBm"
```

# Czasowo – proporcjonalny układ regulacji ogrzewania elektrycznego

Większość powszechnie stosowanych w gospodarstwach domowych regulatorów do sterowania urządzeniami elektrycznymi małej mocy jest układami całkowicie elektronicznymi. Podstawowym elementem wykonawczym jest obecnie dwukierunkowy, półprzewod-

nikowy łącznik sterowany TRIAC. Różne jednak bywają sposoby sterowania tego elementu. Jest to uwarunkowane zarówno rodzajem zastosowania, jak też poziomem technologicznym produktu - (cena). Wytwarzane masowo regulatory mocy oświetlenia, małych urzą-

dzeń grzewczych oraz silników asynchronicznych są układami mało rozbudowanymi, wypełniającymi mniej lub bardziej skutecznie swoje zadania. Prostota jest tylko powierzchnią ich zaletą, co dotyczy większości urządzeń elektronicznych. Proste domowe regulato-

TAB.1

PARAMETRY GRANICZNE. TDA 1023

Symbol	Parametr	Wartość	Jednostka
$U_{cc}$	Napięcie zasilające stałe	16	V
$J_{16}$	Prąd zasilania: max		
$J_{16}$	Wartość przeciętna	30	mA
$J_{16}$	Wartość Impulsowa powtarzalna	100	mA
$J_{10}$	Wartość Impulsowa niepowtarzalna	2	A
$U_i$	Napięcie wejściowe – wszystkie wejścia	16	V
$J_{6,7,9,10}$	Prąd wejściowy	10	mA
$U_{RW}$	Napięcie na rezystorze – wyp.1	16	V
$U_{3,8,11}$	Napięcie wyjściowe	16	V
	Prąd wyjściowy:		
$-J_{OH}$	Wartość przeciętna	30	mA
$-J_{OH}$	Impuls max. 300 $\mu$ s	700	mA
$T_o$	Temperatura otoczenia przy pracy	-20 ÷ +75	°C

ry mocy współpracujące z siecią prądu zmiennego są często mało precyzyjne i źle zabezpieczone, wywołują zakłócenia elektryczne o dużym poziomie w szerokim zakresie częstotliwości. Szczególnie regulatory fazowe wymagają solidnej filtracji, zwłaszcza przy sterowaniu obciążeniami indukcyjnymi. Silne

stany przejściowe wywołują zakłócenia radioelektryczne o częstotliwościach do kilkuset kHz, które rozprzestrzeniają się poprzez instalacje elektryczne i w postaci fal elektromagnetycznych. Urządzenia profesjonalne, pozbawione tych wad były często wykonywane z zastosowaniem elementów dys-

kretnych, poprzez to bardzo złożone i kosztowne. Od kilku lat dostępne są różne typy specjalizowanych układów scalonych, które pozwalają połączyć wysoką jakość z prostą nie drogą konstrukcją. Przykładem takiego układu jest TDA 1023. Układ realizuje sterowanie metodą czasowo-proporcjonalną, która jest udoskonaloną wersją sterowania czasowego (impulsowego) włącz/wyłącz. Rys.1.

### Założenia tej metody:

1. Okres impulsowania jest równy całkowitej wielokrotności okresu przemienności prądu sieci.  
 $T = k \cdot T_s$ ,  $T_s$  – okres sieci zasilającej.
2. Załączenie układu następuje synchronicznie z siecią w momencie naturalnego przejścia prądu (obc. rezystancyjne) przez zero.
3. Czas załączenia  $t_z$  jest równy całkowitej krotności półokresu prądu sieci.

TAB.2

STAŁOPRĄDOWE PARAMETRY ELEKTRYCZNE TDA 1023

 $U_{cc} = 10$  do  $16V$   $T_o = -20^\circ C$  do  $+70^\circ C$ 

SYMBOL	Parametr/warunek	Wartość			Jedn.
		MIN	TYP	MAX	
zasilanie: $U_{cc}$ wypr. 14 i 16					
$U_{cc}$ $\Delta U_{cc}/\Delta I_{16}$	wewnętrznie stabilizowane napięcie $I_{16} = 10\text{mA}$ zmiany $I_{16}$	12	13.7 30	15	V mV/mA
	Prąd zasilania przy $U_{16}$ do $U_{13} = 11 + 16\text{V}$ $I_{10} = 1\text{mA}$ , $f = 50\text{Hz}$ , wypr 11 otw. $U_6$ do $U_{13}$ , $U_7$ do $U_{13}$ :    wypr. 4 i 5 otwarte 				



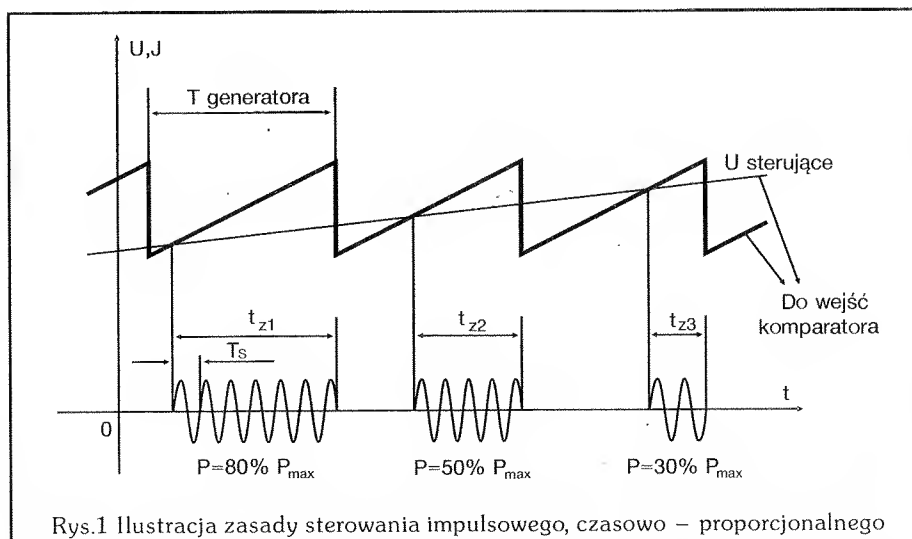
TAB.3

MOC URZĄDZENIA [W]	OKRES POWTARZANIA $T_o$ [s]		
	220V	240V	380V
600	0.2	0.2	
800	0.8	0.3	0.1
1000	2.0	1.0	0.2
1200	4.6	2.0	0.2
1400	7.0	4.3	0.2
1600	10	6.3	0.3
1800	16	8.9	0.5
2000	24	13	0.9
2200	32	17	1.3
2400	40	24	1.9
2600		32	2.6
2800			3.6

Zalecane wartości okresów załączania, ustalone przez Europejski Komitet Elektrotechniczny CENELEC oraz wartości elementów zewnętrznych pozwalających na ich uzyskanie (Tab.4).

TAB.4

MOC URZĄDZ. [W]	t [s]	C (DC) [μF]	t NOM. [s]	t MIN. [s]	t MAX. [s]
2000	24	68	41	22	65
1800	16	47	28	15	45
1600	10	33	20	11	32
1400	7	22	13	7	21
1200	4.6	15	9	4.8	14
1000	2	10	6	3.2	9.6
800	0.8	10	6	3.2	9.6
600	0.3	10	6	3.2	9.6



Rys.1 Ilustracja zasady sterowania impulsowego, czasowo – proporcjonalnego

Wynika z powyższego, że współczynnik wypełnienia nie może zmieniać się płynnie. Przyjmuje on wartości dyskretne:  $\sigma = t_z/T$ ,  $T$  – okres cyklu załączania.

Ten typ sterowania jest przeznaczony do obsługi urządzeń grzewczych małej i średniej mocy, cechujących się pewną bezwładnością, jak przykładowo:

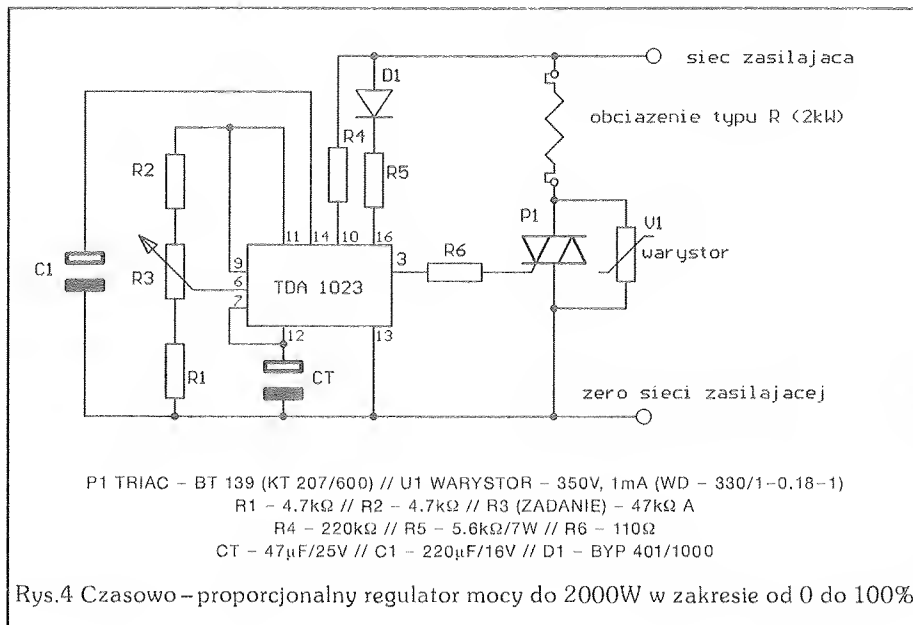
- kuchnie elektryczne
- żelazka i przenośne grzejniki
- ogrzewacze wody i innych czynników
- systemy ogrzewania domków jednorodzinnych, basenów i łaźni.

Zawarte w jego strukturze wewnętrznej układy wykonują szereg zadań istotnych dla pracy regulatora zadań. Schemat blokowy Rys.2.

1. Stabilizacja mocy zasilania.  
TDA 1023 może być zasilany z sieci zasilającej za pośrednictwem rezystora rozpraszającego, zapewniającego odpowiedni spadek napięcia lub kondensatora. Ma zapewnioną wewnętrzną stabilizację i kompensację temperaturową napięcia odniesienia  $U_{ref}$ , służącego do zasilania układu pomiarowego.
2. Detekcja przejścia przez zero.  
Służy do synchronizacji wyjściowej impulsów sterujących TRIAC, pozwalając na jego załączenie jedynie w momencie przejścia napięcia zasilającego przez wartość zerową. Przy obciążeniu rezystancyjnym zapobiega to powstaniu dużych stromości prądowych i praktycznie eliminuje zakłócenia radioelektryczne. Cykliczne załączanie wprowadza do sieci jedynie podharmoniczne jej częstotliwości.
3. Komparacja ze stabilizacją histerezy. Komparator zabezpiecza przed pojawieniem się na wyjściu przypadkowych impulsów wyzwalających. Porównuje napięcie termistora jako funkcję temperatury pomieszczenia z napięciem zadanym w potencjometrze zadajnika.
4. Przetwarzanie napięcia wejścia potencjometru. Normalnie, relatywnie małe zmiany temperatury w pomieszczeniu (5°C do 30°C) odpowiadają małemu kątowemu zmian położenia potencjometru. Układ dostosowuje zakres zmian położenia potencjometru do wykorzystywanego zakresu regulacji temperatury.
5. Zabezpieczenie przed następstwami uszkodzenia obwodu termistora. Czujnik blokuje generację impulsów wyzwalających w przypadku wystąpienia

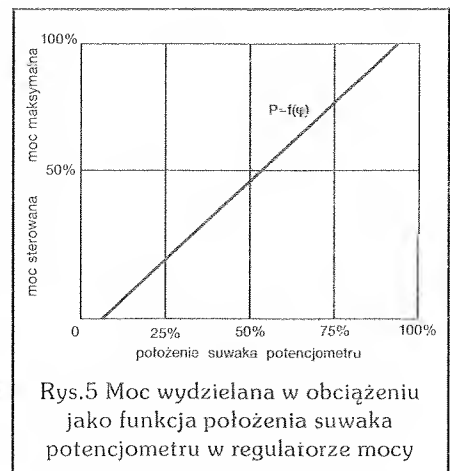
ciąg dalszy na str. 21





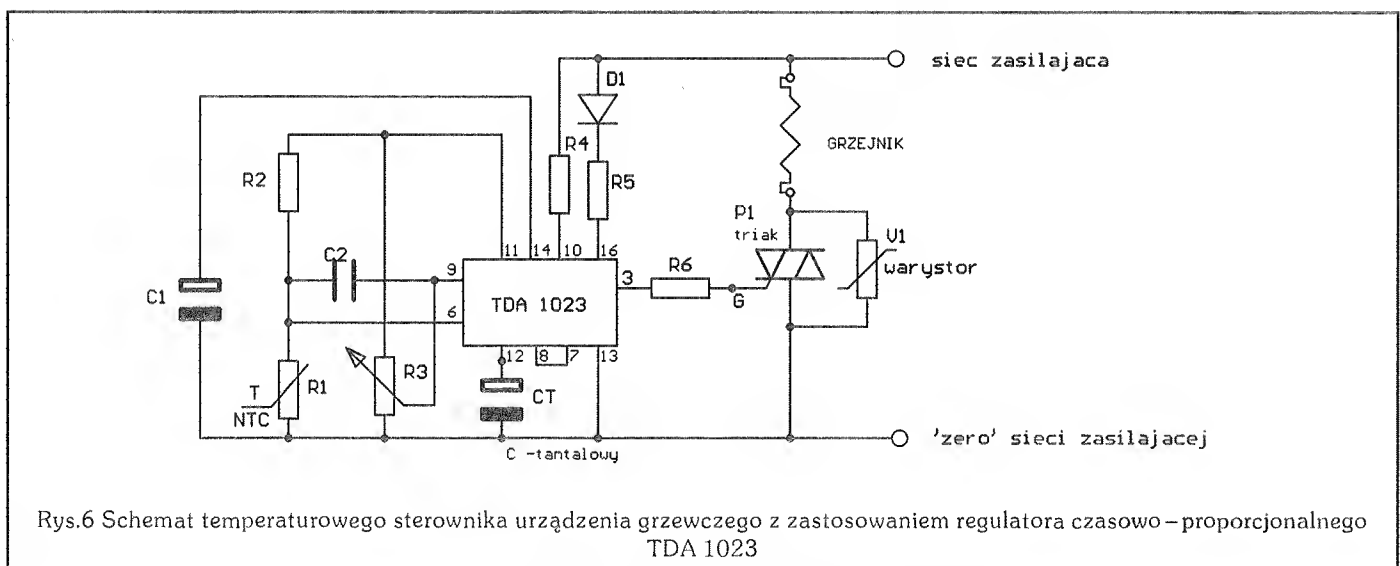
cza impulsów zapłonowych jest uzależniona od prądu zasilającego układ – J16, dlatego nie należy sto-

sować zbyt dużych wartości rezystora rozpraszającego  $R_z$  (R5) tylko zgodne z zalecanymi.



Wspomnianą zmianę zakresu regulacji proporcjonalnej, 100% zmianę mocy w obciążeniu można przeprowadzić można uzyskać:

- pozostawiając wyprowadzenie 5 swobodne uzyskujemy sterowanie od 0 do 100%  $P_{max}$  dla zakresu zmian napięcia wejścio-



WERSJA-A dla mocy grzejnika 400 ÷ 1200W  
 WERSJA-B dla mocy grzejnika 1200 ÷ 2000W

ELEMENT	WARTOŚĆ PARAMETRU WERSJA-A	WARTOŚĆ PARAMETRU WERSJA-B
(TRIAC) $P_1$	BT 138 (KT 205/600)	BT 139 (KT 207/600)
(WARYSTOR) $V_1$	350V, 1mA (WD – 330/1 – 0.18 – 1)	
$D_1$	BYX 10 (BYP 401/1000, 1N) lub podobne Si	
$R_1$ (TERMISTOR) NTC	22kΩ/20°C – może być: *B = 4200 – (np: NTC 110, NTC 21, NTC 215)	
$R_2$	18.7kΩ	18.7kΩ
$R_3$ (ZADANIE)	22kΩ	22kΩ
$R_4$	430kΩ	180kΩ
$R_5$	4.3kΩ min. 6.8W	6.2kΩ min. 4.8W
$R_6$	110Ω	110Ω
$C_1$	220μF/16V	220μF/16V
$C_2$	47nF	47nF
$C_T$ (f.gener.)	15μF	68μF

wego  $\Delta U_{IN} = 80\text{mV}$ , co odpowiada  $\Delta T_{\text{pomieszcz.}} = 1^\circ\text{C}$   
 – zwierając wyprowadzenie 5 do masy uzyskujemy pełne sterowanie dla zmian napięcia wejściowego  $\Delta U_{IN} = 400\text{mV}$ , co odpowiada  $\Delta T_{\text{pomieszcz.}} = 5^\circ\text{C}$ .

W podobnie prosty sposób uzyskujemy zmianę szerokości pętli histerezy sterowania:

– jeżeli wyprowadzenie 4 pozostawimy swobodne, szerokość pętli histerezy wynosi  $20\text{mV}$ , co odpowiada  $\Delta T_{\text{pomieszcz.}} = 0,25^\circ\text{C}$ .  
 – jeżeli wyprowadzenie 4 połączymy z masą przez rezystor wewnętrzny TDA 1023 –  $R_w$  (wypr. 1) uzyskamy szerokość histerezy  $320\text{mV}$ , co odpowiada  $\Delta T_{\text{pomieszcz.}} = -4^\circ\text{C}$ .

Stosując rezystor szeregowy do  $R_w$  uzyskujemy dowolne, pośrednie szerokości pętli histerezy.

Sławomir Szczęśniewicz

Opracowano w oparciu o: katalog: LINEAR DATA MANUAL f-my SIGNETICS; tom 1 do 3. 1986r.

## Nowy syntezer mowy ISD 1016 w DaB Electronic cz.I

Syntezy mowy znajdują obecnie bardzo szerokie zastosowanie i wydaje się, że otaczają nas coraz ściślej. W związku z tym dla wielu osób niezbędna staje się podstawowa informacja o tym jak one działają, do czego można je wykorzystać.

Celem tego artykułu jest dokładne przedstawienie jednego spośród wielu znanych i wykorzystywanych syntezerów dźwięku, a mianowicie ISD 1016.

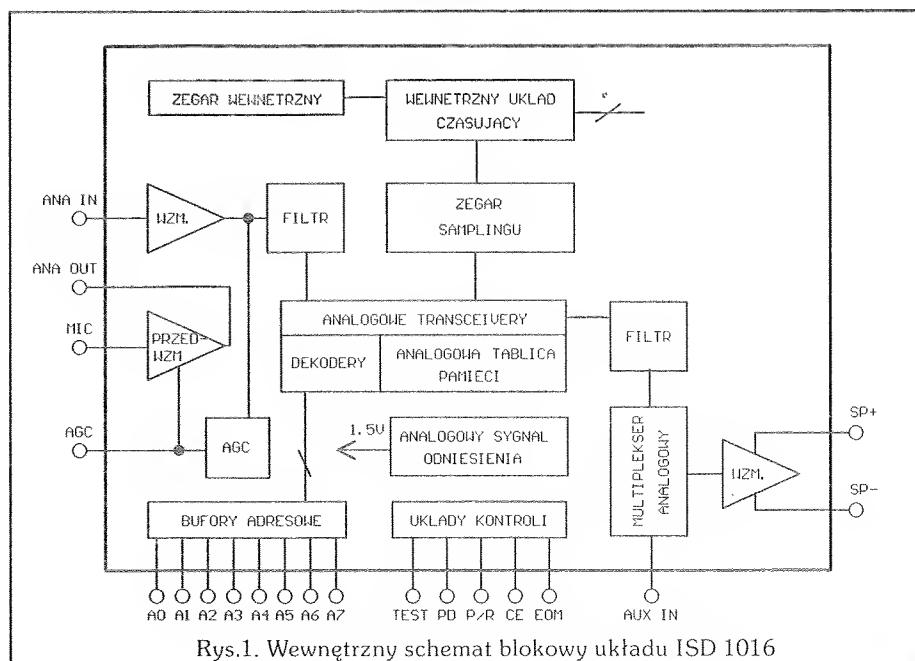
Układ ten może nagrać lub odtworzyć informację podaną w postaci analogowej lub "audio" trwającą maksymalnie 16s. Charakterystyczną cechą tego układu jest unikalna metoda przechowywania sygnału analogowego. Konwencjonalne układy najpierw próbują

przychodzący sygnał analogowy i wysyłają do konwertera A/D, który na wyjściu daje sygnał w postaci cyfrowej o typowej szerokości 8 bitów proporcjonalny do amplitudy sygnału wejściowego. Ponadto metoda ta wymaga co najmniej 8 bitowego magazynu na próbkę. Przy odtwarzaniu danych wymagane jest, aby 8 bitów danych cyfrowych zostało wysłanych do konwertera D/A w celu odtworzenia oryginalnego sygnału analogowego. Układ ISD 1016 eliminuje konwertery A/D i D/A dzięki wykorzystaniu technologii CMOS EEPROM i przechowywaniu próbkowanych danych w postaci poziomu analogowego w tablicy pamięci EEPROM. Metoda ta wymaga tylko jednej komórki na próbkę i ma dodatkową korzyść ja-

ką jest nieulotność. Informacja może być przechowywana przez dziesięć lub więcej lat bez zasilania.

### Zasada działania

Rys.1 pokazuje schemat blokowy ISD 1016. Sygnał mikrofonowy jest pojemnościowo sprzężony do wejścia przedwzmacniacza. Wzmocnienie przedwzmacniacza jest dynamicznie ustawione przy pomocy układu AGC (automatycznej kontroli wzmocnienia), który redukuje wzmocnienie dla dużego poziomu sygnału wejściowego i podwyższa dla sygnału o słabym poziomie. Wyjście przedwzmacniacza jest sprzężone do dodatkowego stopnia wzmacniacza przez zewnętrzny kondensator. Stopień ten ma dwie zasadnicze funkcje. Po pierwsze doprowadzenie wejścia do obwodu AGC tak, że może on ustawić wzmocnienie przedwzmacniacza stosownie do siły sygnału wejściowego. Po drugie wysteroowanie sieci filtrów, które usuwają szum i inne niepożądane sygnały poza ich pasmo przenoszenia. Odpowiednio wzmocniony i przefiltrowany sygnał jest następnie doprowadzony do analogowych transceiverów, które w trybie nagrywania wysyłają go do analogowej tablicy pamięci, a w trybie odtwarzania pobierają go z tej tablicy i wysyłają do wyjściowej sieci filtrów. Wewnętrzny układ czasujący synchronizuje działanie analogowej tablicy pamięci i analogowych transceiverów oraz generuje częstotliwość samplingu. Wejściowy analogowy syg-



nał audio jest spróbkowany przy pomocy częstotliwości 8kHz, która odpowiada częstotliwości audio o wartości 3.4kHz i jest przechowywany w analogowej tablicy pamięci w postaci poziomu napięcia. Podczas odtwarzania poszczególne próbki są odczytywane z pamięci i wysyłane do wyjściowego filtra poprzez analogowe transceivery. Przefiltrowany sygnał jest następnie wysyłany do jednego z wejść analogowych multiplexera, który wybierze jedno ze swoich dwóch wejść doysterowania wzmacniacza mocy. W trybie pracy "playback" przechowana wiadomość będzie wybrana, wzmacniona i przesłana do głośnika. Poza trybem pracy "record" i "playback" multiplexer wybierze pomocnicze wejście jako źródło, co pozwala na wykorzystanie wewnętrznego wzmacniacza kiedy ISD 1016 jest nieczynny.

### Szczegółowy opis wyprowadzeń

Rys.2 pokazuje schemat kompletnego systemu do nagrywania i odtwarzania informacji słownych trwających do 16s. Aby dobrze zrozumieć zasadę działania układu poniżej zostaną omówione funkcje poszczególnych wyprowadzeń.

#### Wejście mikrofonowe (MIC – pin 17)

Mikrofon zewnętrzny podłącza się do tego wejścia przez szeregowy kondensator. Wartość kondensatora oraz 10kΩ wewnętrzna rezystancja wejścia określają dolną częstotliwość odcięcia dla ISD 1016. Zalecany jest dobrej jakości bezkierunkowy mikrofon elektretowy. Jego impedancja powinna wynosić 1kΩ, czułość 64dB, odpowiedź częstotliwościowa 50Hz dla 8kHz i stosunek S/N większy od 40dB.

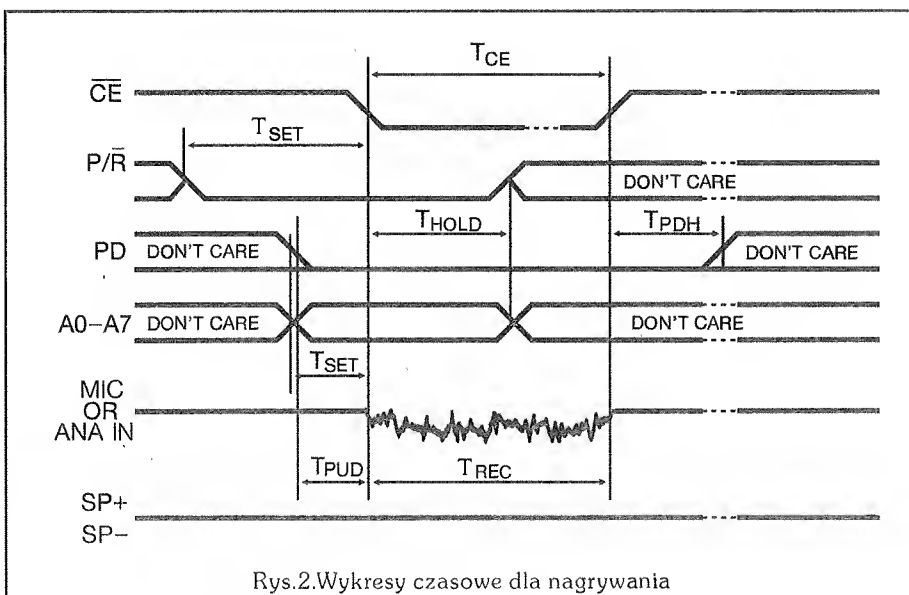
#### Wyjście analogowe (ANA OUT – pin 21)

Na wyjściu tym pojawia się wzmacniony analogowy sygnał wyjściowy. Wzmocnienie przedwzmacniacza jest określone przez poziom napięcia na końcówce AGC. Maksymalne wzmocnienie wynosi około 24dB dla sygnałów o niskim poziomie.

### Tabela 1

Czasy i parametry elektryczne

Symbol	Parametr	Wartość
FS	Częstotliwość samplingu	8kHz
BW	Szerokość pasma częstotliwości	3.4kHz typ.
P <sub>OUT</sub>	Moc wyjściowa wzmacniacza	50mW max.
V <sub>IN1</sub>	Napięcie wejścia mikrofonowego MIC	20mV max. p-p
V <sub>IN2</sub>	Napięcie wejścia ANA	80mV max. p-p
V <sub>IN3</sub>	Napięcie wejścia AUX	1.25V max. p-p
T <sub>SET</sub>	Czas ustawiania wejść kontrolnych i adresowych	300ns min.
T <sub>HOLD</sub>	Czas zatrzymania wejść kontrolnych i adresowych	0ns max.
T <sub>CE</sub>	Czas stanu niskiego na $\overline{CE}$	100ns min.
T <sub>PUD</sub>	Czas opóźnienia zadziałania wejścia PD przy przejściu z 1 na 0	25ms min
T <sub>PDH</sub>	Czas opóźnienia zadziałania wejścia PD przy przejściu z 0 na 1	0ns min.
T <sub>REC</sub>	Czas nagrywania	16s max.
T <sub>PLAY</sub>	Czas odtwarzania	16s max.
T <sub>EOM</sub>	Szerokość impulsu $\overline{EOM}$	12.5ms typ.



Rys.2. Wykresy czasowe dla nagrywania

#### Wejście analogowe (ANA IN – pin 20)

Końcówka ta spełnia dwie role. Wyjście analogowe (pin 20) przedwzmacniacza może być sprzężone poprzez zewnętrzny kondensator do analogowego wejścia – pin 20. Wartość kondensatora oraz rezystancja wejściowa 2.7kΩ mogą wprowadzić dodatkowe obciążenie na końcu pasma dla niskich częstotliwości. Alternatywnie, końcówka ta może być wykorzystana do wejściowych sygnałów analogowych innych niż sygnał mikrofonowy.

#### Automatyczna kontrola wzmocnienia (AGC – pin 19)

Tak jak opisano wcześniej układ

AGC dynamicznie reguluje wzmocnienie przedwzmacniacza. Piek napięć wyjściowych przedwzmacniacza zostanie zauważony i naładuje zewnętrzny kondensator. Czas potrzebny na to, aby kondensator naładował się do poziomu, który uruchamia tłumienie przedwzmacniacza (ok 1.8V) jest określony przez wartość kondensatora i 5kΩ rezystancję wewnętrzną wejścia AGC. Czas wyzwalania AGC jest określony przez ten kondensator i równoległy do niego zewnętrzny rezystor.

#### Wyjścia głośnika (SP<sup>+</sup> pin 14 i SP<sup>-</sup> pin 15)

Mogą one bezpośrednio wystawiać głośnik o impedancji nie mniejszej od 16Ω. Maksymalna



moc wyjścia (50mW) jest osiągana tylko wtedy, gdy głośnik jest podłączony między te dwie końcówki. Przy takiej konfiguracji nie jest potrzebny żaden sprzęgający kondensator. Możliwa jest również konfiguracja z pojedynczym wyjściem, ale wówczas konieczny jest kondensator sprzęgający głośnik do masy. Moc jest wtedy zredukowana do około 12mW. Podczas nagrywania wyjścia głośnikowe są nieczynne. Można wykorzystać również głośnik 8Ω lecz spowoduje to większą głośność i pewne zniekształcenia sygnału audio.

#### Zmniejszenie mocy (Power Down PD – pin 24)

Końcówka ta spełnia dwie funkcje. Po pierwsze będąc w stanie wysokim ustawia ISD 1016 w tryb pracy ze zmniejszoną mocą wówczas, gdy jest on w stanie biernym (tzn. nie nagrywa i nie odtwarza). Po drugie dostarcza sygnały do wyresetowania liczników adresowych. Gdy układ ISD 1016 przepełni się (przy przekroczeniu 16s podczas nagrywania lub odtwarzania) licznik adresowy osiągnie swoją maksymalną wartość (9Fh) i wyge-

nerowany zostaje impuls  $\overline{\text{EOM}}$  (koniec wiadomości). Aktywacja końcówki  $\overline{\text{CE}}$  nie uruchomi ponownie układu dopóki PD nie przejdzie ze stanu wysokiego do niskiego. Uwaga: Podczas wielokrotnego nagrywania wiadomości użytkownik powinien zakończyć każdą wiadomość ustawieniem  $\overline{\text{CE}}$  w stan niski, podczas gdy PD jest w stanie niskim. Zabezpieczy to liczniki adresowe przed wyresetowaniem przy starcie następnej wiadomości, powodując w ten sposób przepisanie wcześniejszej informacji.

#### Uruchomienie chipa (Chip Enable $\overline{\text{CE}}$ – pin 23)

Kiedy końcówka ta jest w stanie niskim umożliwia wszelkie operacje związane z nagrywaniem i odtwarzaniem. Wejścia adresowe oraz play/record, których czas przełączania wynosi 300ms są zatrzymane na opadającym zboczach sygnału. Kiedy ta końcówka osiąga stan wysoki ISD 1016 jest nieczynny, a wejście pomocnicze (AUX IN) jest uaktywnione i służy do wykorzystania wewnętrznego wzmacniacza mocy do innych celów.

#### Play/Record (P/R – pin 27)

Stan tego wejścia jest zatrzymany na opadającym zboczach sygnału  $\overline{\text{CE}}$  (razem z wejściami adresowymi  $A_0-A_7$ ). Logiczna jedynka wybiera tryb pracy "odtwarzanie" (playback), a logiczne zero – "nagranie (record)". Wiadomość jaka ma być odtworzona rozpocznie się przy adresach zatrzymanych kiedy  $\overline{\text{CE}}$  opadało do stanu niskiego. Wiadomość będzie kontynuowana do momentu aż na  $\overline{\text{EOM}}$  pojawi się impuls. Bit EOM jest automatycznie wstawiany podczas nagrywania kiedy obszar pamięci jest zapętniony lub kiedy nagranie jest zakończone przez podanie zera logicznego na PD lub jedynki logicznej na  $\overline{\text{CE}}$ . Jeżeli pewne informacje mają być nagrywane kilkakrotnie na  $\overline{\text{CE}}$  powinno pulsować zero, aby odtworzyć pojedynczą wiadomość. Jeżeli  $\overline{\text{CE}}$  jest utrzymywane w stanie niskim (aktywne), wszystkie zmagazynowane informacje będą odtwarzane po kolei.

Jolanta Dąbrowska

Opracowano na podstawie:

1. Materiały reklamowe DaB Electronic
2. Radio Electronic 3/1992
3. Popular Electronics 10/1992

## Alfanumeryczne wyświetlacze LTN 211, LTN 221, LTN 243

Są to produkty firmy Philips wykonywane razem ze sterownikiem /w technologii CMOS/ przystosowanym do łatwego sprzęgania z małymi systemami mikroprocesorowymi.

Wszystkie wyświetlacze posiadają 160 znaków w ROM i możliwość zdefiniowania do 8 znaków (CG RAM). Ponadto istnieje możliwość podłączenia do mikroprocesora poprzez port 4-bitowy (bity D0 do D3 nie są wtedy wykorzystywane).

#### Wbudowane instrukcje:

- display clear (czyść wyświetlacz),
- cursor home (kursor na początek),

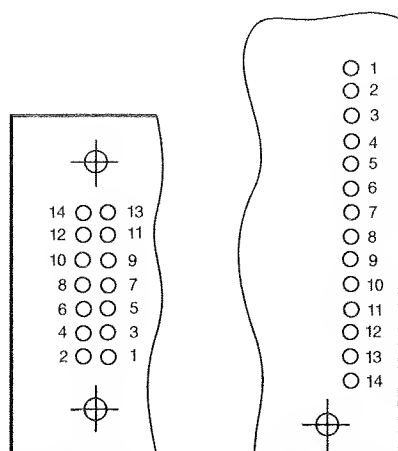
#### Dane techniczne i elektryczne:

	LTN 211	LTN 221	LTN 243
Gabaryty [mm]	84*44*12	116*37*11	182*33,5*11
Pole wyświetlacza [mm]	61*15,8	83*18,6	154,4*15,8
Ilość znaków	2*16	2*20	2*40
Rozmiar znaku [mm]	5,56*2,96	5,55*3,2	5,55*3,2
Masa [g]	25	25	65
Pobór mocy [mW]	7,5	7,5	11

#### Wartości dopuszczalne /IEC 134/

PARAMETR	SYMBOL	MIN	TYP	MAX.	JEDN.
Napięcie zasilania	$V_{DD}$	-0,3	–	7,0	V
Napięcie LCD $/V_{DD} - V_0/$	$V_{op}$	0	–	9,0	V
Napięcie wejściowe	$V_i$	-0,3	–	$V_{DD} + 0,3$	V
Temperatura przechow.	$T_{stg}$	-25	–	+70	°C
Temperatura pracy	$T_{amb}$	0	–	+50	°C

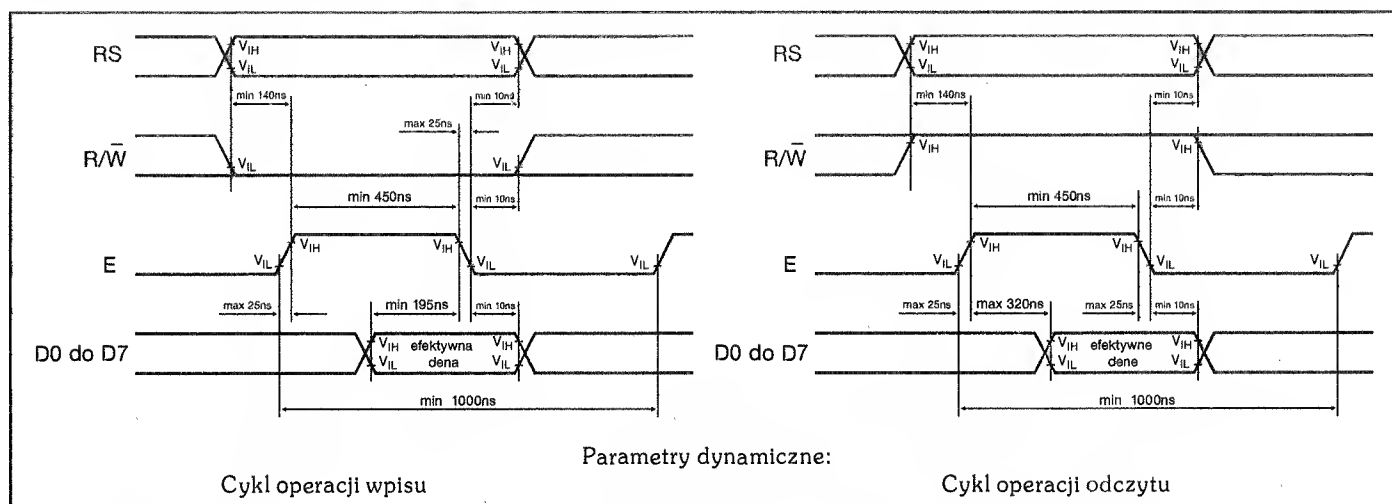
Rozmieszczenie końcówek:  
LTN 221 i LTN 243 LTN 211



Uwaga !!! Widok od strony wyświetlacza

przy  $T_{amb} = 20^\circ C$ ;  $V_{DD} = 5V$

PARAMETR	SYMBOL	MIN.	TYP.	MAX.	JEDN.
Napięcie zasilania	$V_{DD} - V_{SS}$	4.75	5.0	5.25	V
Ustawienie napięcia kontrastu	$V_o$	–	0.6	–	V
Kompensacja temperatury ( $V_o$ )	TC	–	–14	–	mV/°C
Napięcie wejściowe w stanie niskim	$V_{IL}$	–0.3	–	0.6	V
Napięcie wejściowe w stanie wysokim	$V_{IH}$	2.2	–	$V_{DD}$	V
Napięcie wyjściowe w stanie niskim $I_{OL} = 1.2 \text{ mA}$	$V_{OL}$	–	–	0.4	V
Napięcie wyjściowe w stanie wysokim $I_{OH} = 0.205 \text{ mA}$	$V_{OH}$	2.4	–	–	V
Prąd wejściowy	$I_I$	–	–	1.0	$\mu A$
Częstotliwość wewnętrznego generatora	$f_{osc}$	–	140	–	kHz



- display ON/OFF,
- cursor ON/OFF
- character blink (migający kursor lub znak),
- cursor shift lub display shift (przesuwany kursor lub wyświetlacz).

### Objaśnienia:

I/D = 1: zwiększ

S = 1: wyświetlacz przesuwany  
D = 1: włącz wyświetlacz  
C = 1: włącz kursor  
B = 1: włącz miganie znaku w pozycji kursora  
S/C = 1: przesuwany obraz  
R/L = 1: przesunięcie w prawo  
DL = 1: port 8-bitowy  
BF = 1: trwa wewnętrzna operacja na aktywnym adresie  
I/D = 0: zmniejsz

S = 0: wyświetlacz nieruchomy  
D = 0: wyłącz wyświetlacz  
C = 0: wyłącz kursor  
B = 0: wyłącz miganie znaku  
S/C = 0: poruszający się kursor  
R/L = 0: przesunięcie w lewo  
DL = 0: port 4-bitowy  
BF = 0: koniec wewnętrznej operacji

Zbigniew Korpak

### Przykład procedur na mikroprocesor 80C31 do obsługi wyświetlaczy LTN 2xx (dla rys.1)

```

: WARTOŚCI WPISYWANE DO DPH (adresowanie wyświetlacza)
REJESTR_WRITE DATA 11011001B ; wpis do rejestru
REJESTR_READ DATA 11011011B ; odczyt z rejestru
RAM_WRITE DATA 11011101B ; wpis do RAMu
RAM_READ DATA 11011111B ; odczyt z RAMu

```

```

: TESTUJE CZY DISPLAY_BUSY (flaga BF) JEST ZAJĘTE
TEST_BUSY: PUSH ACC ; zapamiętaj na stosie
          PUSH PSW ; ACC i PSW
          MOV DPH, REJESTR_READ ; w DPTR adres rejestru
TEST_BUSY_L MOVX A, @DPTR ; testuj czy flaga jest
          JB OE7H, TEST_BUSY_L ; ustawiona i powtórz

```

### Pozycja znaku na wyświetlaczu a jego adres w DD RAM (HEX) dla LTN 211:

	1	2	3	4	5	6	7	8	9	10	11		15	16
linia 1	00h	01h	02h	03h	04h	05h	06h	07h	08h	09h	0Ah		0Eh	0Fh
linia 2	40h	41h	42h	43h	44h	45h	46h	47h	48h	49h	4Ah		4Eh	4Fh

### dla LTN 221:

	1	2	3	4	5	6	7	8	9	10	11		19	20
linia 1	00h	01h	02h	03h	04h	05h	06h	07h	08h	09h	0Ah		12h	13h
linia 2	40h	41h	42h	43h	44h	45h	46h	47h	48h	49h	4Ah		52h	53h

### dla LTN 243:

	1	2	3	4	5	6	7	8	9	10	11		39	40
linia 1	00h	01h	02h	03h	04h	05h	06h	07h	08h	09h	0Ah		26h	27h
linia 2	40h	41h	42h	43h	44h	45h	46h	47h	48h	49h	4Ah		66h	67h

```
POP PSW ; test gdy BF=1
POP ACC ; gdy BF=0 to powrót
RET
```

```
; WPIS DO REJESTRU WYŚWIETLACZA LTN
; WARTOŚĆ W ACC
WPIS_DO_R ACALL TEST_BUSY ; testuj flagę BF
MOV DPH, REJESTR_WRITE ; w DPTR adres rejestru
MOVX @DPTR, A
RET
```

```
; WYŚWIETLA TEKST Z PAMIĘCI EPROM ADRESOWANEJ PRZES DPTR
; NA KONCU TEKSTU MUSI BYĆ ZNAK OH
; niszczy ACC i PSW
PRINT_EPROM CLR A ; zeruj ACC
MOVC A, @A+DPTR ; prześlij znak z EPROM
JNZ PRINT_EPROM1 ; czy znak końca tekstu?
RET ; tak to powrót
PRINT_EPROM1 PUSH DPH ; zapamiętaj adres znaku
PUSH DPL
ACALL _PRINT ; wyślij znak z ACC
POP DPL ; otwórz adres znaku
POP DPH
INC DPTR ; adres następnego znaku
SJMP PRINT_EPROM
```

```
; WYŚWIETLA TEKST Z WEWNĘTRZNEJ PAMIĘCI RAM ADRESOWANEJ PRZES RO
; NA KONCU TEKSTU MUSI BYĆ ZNAK OH
PRINT_RAM MOV A, @RO ; prześlij znak do ACC
JNZ PRINT_RAM1 ; czy znak końca tekstu?
RET
```

```
PRINT_RAM ACALL _PRINT
INC RO ; adres następnego znaku
SJMP PRINT_RAM
```

```
; DRUKUJE ZNAK Z ACC
_PRINT ACALL TEST_BUSY
MOV DPH, RAM_WRITE
MOVX @DPTR, A
RET
```

; PRZYKŁAD WYŚWIETLANIA NAPISU "NOWY ELEKTRONIK" Z  
POZOSTAWIENIEM  
MIGAJĄCEGO KURSORA NA KONCU NAPISU. WYDRUK W 1 LINII OD  
POZYCJI 0.

```
; USTAW WYŚWIETLACZ LTN
MOV A, #00111000B ; port 8-bitowy
ACALL WPIS_DO_R
MOV A, #00000110B ; wyświetlacz zamrożony
ACALL WPIS_DO_R ; pozycja kursora zwiększona
MOV A, #00001111B ; DISPLAY ON, KURSOR ON
ACALL WPIS_DO_R ; MIGAJĄCY KURSOR
MOV A, DISPLAY_CLEAR ; kasuj wyświetlacz
ACALL WPIS_DO_R
MOV DPTR, NOWY_ELEKTRONIK
LCALL PRINT_EPROM
LOOP SJMP LOOP ; pętla nieskończona
NOWY_ELEKTRONIK DB "NOWY ELEKTRONIK", 0
```



# Katalog tranzystorów b. ZSRR

## (ciąg dalszy)

Tranzystory bipolarne

Tabela 7

Tranzystory P-N-P, małej mocy, b. wysokiej częstotliwości.

TYP	I <sub>c</sub> mA	U <sub>cer</sub> V	U <sub>co</sub> V	U <sub>eo</sub> V	P <sub>cm</sub> /T mW/°C	β	F <sub>gr</sub> GHz
П418Е	10	6.5	10	0.3	50/60	60-170	0.4
П418Ж	10	6.5	10	0.3	50/60	60-170	0.4
П418Г	10	7	10	0.3	50/60	8-70	0.4
П418Д	10	7	10	0.3	50/60	8-70	0.4
1Т376А	10	7	7	0.25	35/25	10-150	1
ГТ376А	10	7	7	0.25	35/25	10-150	1
ГТ328А	10	15	15	0.25	50/25	20-200	0.4
1Т386А	10	15	15	0.3	40/25	10-100	0.44
ГТ346А	10	15	20	0.3	50/25	10-150	0.7
ГТ346Б	10	15	20	0.3	50/25	10-150	0.55
ГТ346В	10	15	20	0.3	50/25	15-150	0.55
КТ392А-2	10	40	40	4	120/65	40-180	0.5
2Т370Б-1	15	12	15	4	15/50	40-120	1.2
КТ370Б-1	15	15	15	4	15/50	40-120	1.2
2Т370А-1	15	15	15	4	15/50	20-70	1
КТ370А-1	15	15	15	4	15/50	20-70	1
2Т360Б-1	20	15	20	4	10/55	40-120	0.4
2Т360В-1	20	15	20	4	10/55	80-240	0.4
КТ360Б-1	20	15	20	4	10/55	40-140	0.4
КТ360В-1	20	15	20	4	10/55	80-240	0.4
КТ3126А	20	20	20	3	150/85	25-150	0.6
КТ3126Б	20	20	20	3	150/85	60-180	0.6
КТ3127А	20	20	20	3	100/35	25-150	0.6
КТ3128А	20	20	20	3	100/85	15-150	0.8
КТ337А	30	6	6	4	150/60	30-70	0.5
КТ337Б	30	6	6	4	150/60	50-75	0.6
КТ337В	30	6	6	4	150/60	70-120	0.6
2Т3123В-2	30	10	10	3	150/25	20	3
КТ3123В-2	30	10	10	3	150/25	40	3.5
КТ3123ВМ	30	10	10	3	150/25	40	3.5
2Т363Б	30	12	15	4	150/45	40-120	1.5
КТ363Б	30	12	15	4	150/45	40-120	1.5
КТ363ВМ	30	12	15	4	150/45	40-120	1.5
2Т3123А-2	30	12	15	3	150/25	20	4
КТ3123А-2	30	12	15	3	150/25	40	5
КТ3123АМ	30	12	15	3	150/25	40	5
2Т3123Б-2	30	12	15	3	150/25	20	4
КТ3123Б-2	30	12	15	3	150/25	40	5
КТ3123ВМ	30	12	15	3	150/25	40	5
ГТ313А	30	15	15	0.7	100/20	20-200	.35-1
ГТ313Б	30	15	15	0.7	100/20	20-200	.45-1
ГТ313В	30	15	15	0.7	100/20	30-170	.35-1
2Т363А	30	15	15	4	150/45	20-70	1.2
КТ363А	30	15	15	4	150/45	20-70	1.2
КТ363АМ	30	15	15	4	150/45	20-70	1.2
КТ347В	50	6	6	4	150/55	50-400	0.5
1Т313А	50	7	12	0.7	100/43	10-230	.30-1
1Т313Б	50	7	12	0.7	100/43	10-75	.45-1
1Т313В	50	7	12	0.7	100/43	30-230	.45-1
КТ347Б	50	9	9	4	150/55	30-400	0.5
2Т326Б	50	15	20	4	250/25	45-160	0.4



TYP	I <sub>c</sub> mA	U <sub>cer</sub> V	U <sub>cb0</sub> V	U <sub>eb0</sub> V	P <sub>cmax</sub> /T mW/°C	β	F <sub>gr</sub> GHz
KT326A	50	15	20	4	200/30	20-70	0.4
KT326B	50	15	20	4	200/30	45-160	0.4
KT347A	50	15	15	4	150/55	30-400	0.5
KT3109B	50	20	25	3	170/40	15	0.8
KT3109B	50	20	25	3	170/40	15	0.6
KT3109A	50	25	30	3	170/40	15	0.8
KT345A	200	20	20	4	100/40	20-60	0.35
KT345B	200	20	20	4	100/40	50-85	0.35
KT345B	200	20	20	4	100/40	70-105	0.35
2T389A-2	300	25	25	4	300/80	25-100	0.45
KT389B-2	300	25	25	4	300/80	25-100	0.45

Witold Wrotek

c.d.n.

## OGŁOSZENIA DROBNE

STEROWNIKI węży dyskotekowych, 200 kombinacji. Informacje, koperta zwrotna + znaczek. "VOLT-S", ul. Malborska 88/24, 82-300 ELBLĄG. D-111

Sprzedam wobuloskop. Wrocław tel. 57-16-20 po 18.00. D-378

Wykrywacz metali. Alarm mieszkaniowy. Zestawy do samodzielnego montażu. Informacje gratis kopertą zwrotną. Sylwester Królak, 75-337 Koszalin, ul. K.Wyki 19/6. D-403

TRANSET - zestawy do samodzielnego montażu rewelacyjnych wykrywaczy

metali, przystawki zmieniającej telewizor w wielokanałowy oscyloskop, tune-ra TV-SAT itp. Informator - koperta + znaczki na list polecony. 58-550 Karpacz 3, Szkolna 2. D-404

Duży wybór instrukcji serwisowych do sprzętu TV, Video, HI-FI oraz części i podzespoły elektroniczne do w/w sprzętu oferuje firma "KLAR" P.S.P. ul. Chopina 11A 74-320 Barlinek tel. 61-974. Wysyłka katalogów za zaliczeniem pocztowym. D-418

Naprawa i przestrajanie na PAL generatorów K-935 i K-938 oraz generatorów rosyjskich. W generatorach K-935,

K-938 i K-939 instalujemy również kodery teletextu wraz z testem podobnym do telewizyjnego obrazu kontrolnego. TESTRONIK - Warszawa ul. Robinii 8 a tel/fax (02) 667-72-70. D-424

Schematy zachodnich wzmacniaczy gitarowych, efektów. Informacje - koperta zwrotna. Stanisław Gogol, 43-265 KRYRY. D-441

Rewelacyjny wykrywacz przewodów i rur metalowych w ścianie (również nie-żelazne). Ergonomiczna obudowa, LED, 6F22, małe wymiary, 35000,-/szt. + koszty. EXALT 06-500 Mława ul. Piłtynowa 20 tel. 2499. D-444

## DLA PROFESJONALISTÓW I AMATORÓW!

## KATALOG HCT

## PARAMETRY I WYBRANE APLIKACJE

Katalog cyfrowych układów scalonych CMOS (AC, ACT, C, HC, HCT, HCU) produkowanych przez 39-ciu światowych potentatów w tej dziedzinie m.in.: Advanced Micro Devices Inc., Hitachi Ltd., Intel Group, Motorola Semiconductor Products, NEC, autorstwa mgr inż. Witolda Wrotka, to ponad 500 stron z danymi technicznymi, zastosowaniem układów i przykładami współpracy z układami innych typów.

## Katalog HCT do nabycia w księgarniach:

- Warszawa, ul. Mokotowska 51/53 tel/fax: (0-2) 628-16-14
- Łódź, ul. Piotrkowska 39 tel/fax: (0-42) 32-51-64
- Wrocław, ul. Św. Mikołaja 51/53 tel/fax: (0-71) 44-84-34

w księgarniach na terenie kraju

lub bezpośrednio w redakcji „Nowego Elektronika” (adres w stopce).

Redakcja prowadzi także sprzedaż za zaliczeniem pocztowym.

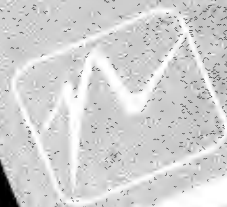
Cena 120.000 zł + koszty wysyłki.

NAKLAD OGRANICZONY

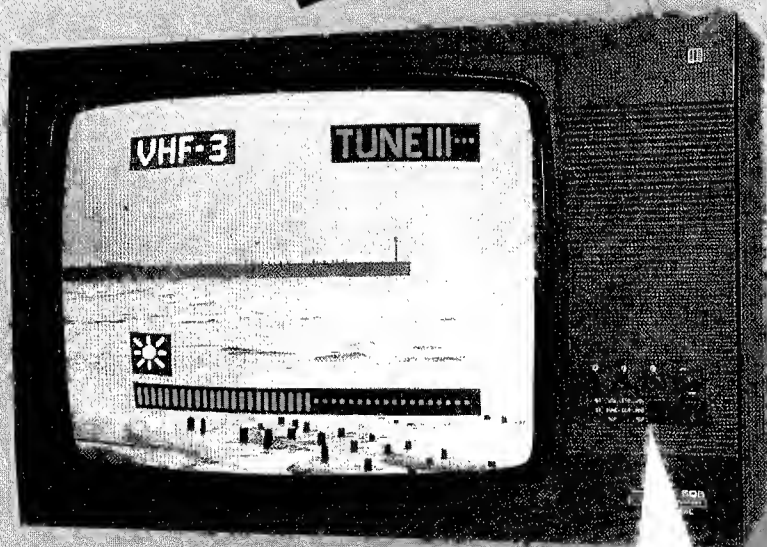
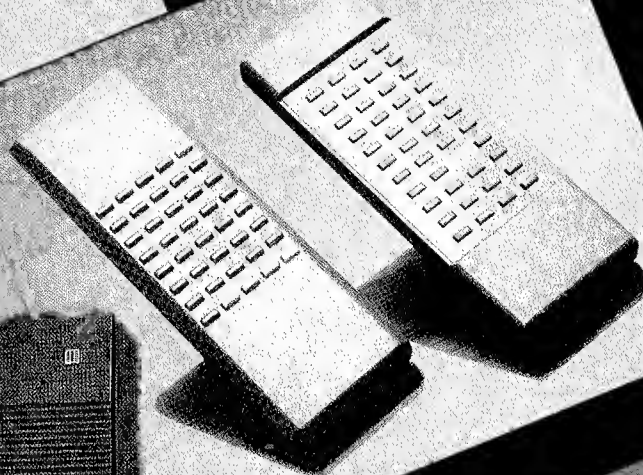
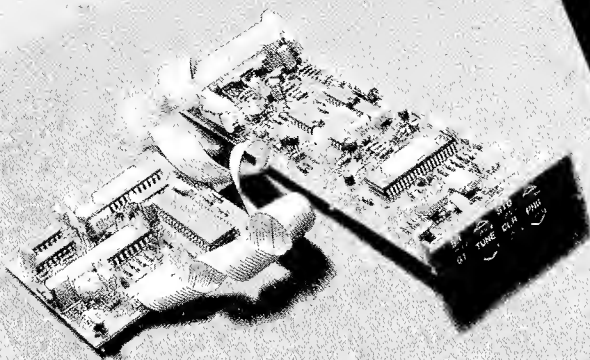
Witold Wrotek

## KATALOG HCT

PARAMETRY I WYBRANE APLIKACJE



**proelco**



#### oferuje:

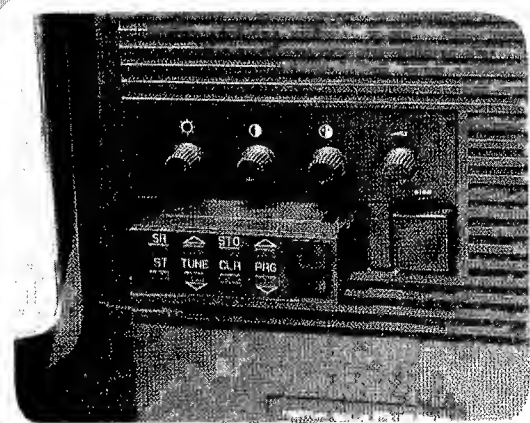
- \* zdalnie sterowanie z OSD (do odbiorników polskich i radzieckich)
- \* piloty
- \* dekodery telegazety
- \* dekodery PAL
- \* transkodery SECAMPAL
- \* konwertery fali 5,5/6,5 MHz i odwrotnie
- \* moduły fali równoległych
- \* konwertery DKE w studniach i bez studniowy
- \* wejści audio-vidéo
- \* produkcja kontraktowa

#### Do nas zawsze blisko

Gdańsk "Naj-El-Ektron" ul. Wileńska 19/5 tel. 32221, Gdańsk "Unifon" ul. Gwarków 167 tel. 410866  
 Gdynia "Elektron" ul. Abraham 71/2, 3-52, Gdynia "K. i J." ul. W. W. 24/181,  
 Gdynia "Marszałek" ul. ul. K. 10/1031, Białystok B. "E. i J." ul. S. C. ul. Partyzantów 13 t. 20252  
 Bydgoszcz "Elektron" ul. S. 21 tel. 225205, Częstochowa "IT" ul. M. 26 tel. 30706  
 Gielzno "C. Elektron" ul. L. 95/7 tel. 345, Katowice "W. i J." ul. P. 9 tel. 514020  
 Kędzierzno "Technika" ul. L. 127 Kraków "Elektronik-land" ul. F. 29 t. 672234  
 Łódź "H. i J." ul. Z. 157/233, Poznań "A-V-S" ul. 28 ul. 164 t. 330295  
 Poznań "Hobby-Elektronik" ul. S. 11 t. 659773, Rybnik "Elektron" ul. P. 29 t. 22651  
 Słupsk "S. i J. Elektron" ul. P. 101 t. 25-36, Szczecin "Electrum" ul. S. 113 t. 601548  
 Tarnobrzeg "Elektron" ul. N. 37 tel. 320723, Warszawa "I. i J." ul. E. Plater 9/11 tel. 6288173  
 "Proelco" Główna - Warszawa Wolny S. 1, Łódź, Warszawa "Zbyromex" S. C. ul. W. 53  
 Zielona Góra "HDK" ul. K. 95 tel. 61511, Złotów "Wszystko dla Ciebie" ul. C. 18 tel. 3738

#### twój sukces do dobrego partner

ZAPRASZAMY DO WSPÓŁPRACY ZAKŁADY USŁUGOWE I HANDLOWE  
 SPRZEDAŻ HURTOWA I DETALICZNA, SPRZEDAŻ WYSYŁKOWA



NOWY ADRES: PL-83 000 Pruszcz Gdański ul. Batalionów Chłopskich 1 POLAND

**proelco** tel:(058) 822053, 822054, 822055 fax:822056 tlx:0512448 pec pl